

## § 4 根轨迹法

---

§ 4. 1 根轨迹法的基本概念

§ 4. 2 绘制根轨迹的基本法则

§ 4. 3 广义根轨迹和零度根轨迹

§ 4. 4 多闭环控制系统的根轨迹

§ 4. 5 利用根轨迹分析系统性能

## § 4.1 根轨迹法的基本概念

---

**根轨迹法：** 三大分析校正方法之一

**特点：**

- (1) 图解方法，直观、形象
- (2) 适用于研究当系统中某一参数变化时，系统性能的变化趋势。
- (3) 近似方法，不十分精确。

**根轨迹：**

开环系统某一参数由  $0 \rightarrow \infty$  变化时，闭环系统特征根  $\lambda$  在  $s$  平面相应变化所描绘出来的轨迹。（闭环极点轨迹）

## § 4.1.1 根轨迹

例1 系统结构图如图所示，分析  
 $\lambda$  随开环增益  $K$  变化的趋势。

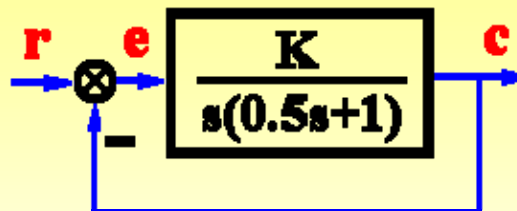
解. 
$$G(s) = \frac{K}{s(0.5s+1)} = \frac{K^*}{s(s+2)}$$

$\begin{cases} K : \text{开环增益} \\ K^* : \text{根轨迹增益} \end{cases}$

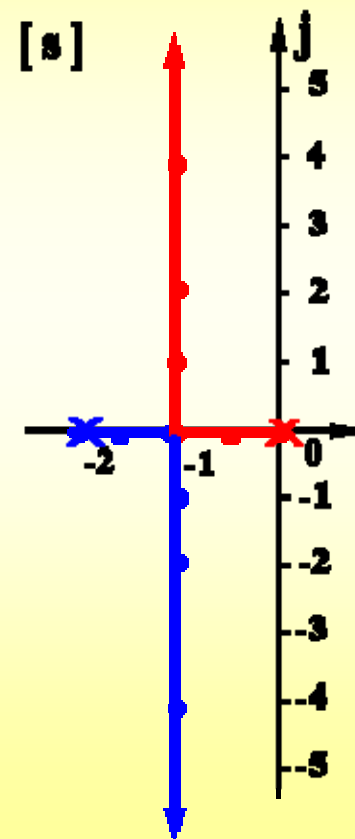
$$\Phi(s) = \frac{C(s)}{R(s)} = \frac{K^*}{s^2 + 2s + K^*}$$

$$D(s) = s^2 + 2s + K^* = 0$$

$$\lambda_{1,2} = -1 \pm \sqrt{1 - K^*}$$

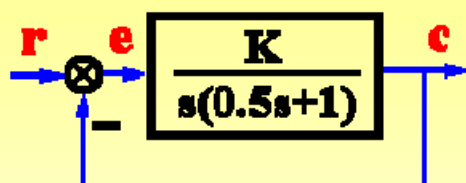


$K^*=2K$	$\lambda_1$	$\lambda_2$
0	0	-2
0.64	-0.4	-1.6
1	-1	-1
2	-1+j1	-1-j1
5	-1+j2	-1-j2
17	-1+j4	-1-j4
$\vdots$	$\vdots$	$\vdots$
$\infty$	$-1+j\infty$	$-1-j\infty$



# § 4.1.2

# 根轨迹 —— 系统性能



$$D(s) = s^2 + 2s + K^* = 0$$

$$\lambda_{1,2} = -1 \pm \sqrt{1 - K^*}$$

$$K^* = 2K = 0$$

$$1 \rightarrow \infty$$

动态性能

$$\xi > 1$$

$$0 < \xi < 1$$

$$\sigma\% = 0$$

$$\beta \uparrow \Rightarrow \xi \downarrow \Rightarrow \sigma\% \uparrow$$

$$t_s \downarrow$$

$$t_s = \frac{3.5}{\xi \omega_n} \sim$$

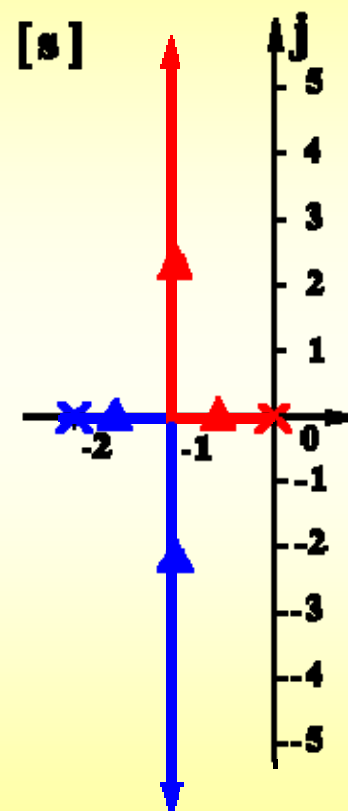
稳定性

$$\text{Re}[\lambda_{1,2}] < 0, \text{ 系统绝对稳定}$$

稳态误差

$$[r(t) = At]$$

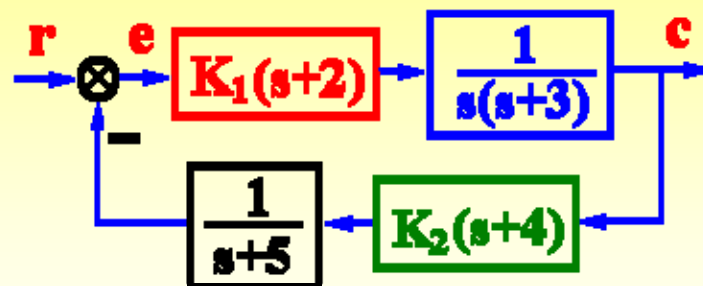
$$K^* \uparrow \Rightarrow e_{ss} = \frac{A}{K} = \frac{2A}{K^*} \downarrow$$



## § 4.1.3 闭环零点与开环零、极点之间的关系

系统结构图如图所示，确定闭环零点

$$G(s) = \frac{K_1 K_2 (s+2)(s+4)}{s(s+3)(s+5)} \quad \begin{cases} K^* = K_1 K_2 \\ K = \frac{8}{15} K_1 K_2 \\ v = 1 \end{cases}$$



$$\Phi(s) = \frac{\frac{K_1(s+2)}{s(s+3)}}{1 + \frac{K_1 K_2 (s+2)(s+4)}{s(s+3)(s+5)}} = \frac{K_1(s+2)(s+5)}{s(s+3)(s+5) + K_1 K_2 (s+2)(s+4)}$$

闭环零点 = 前向通道零点 + 反馈通道极点

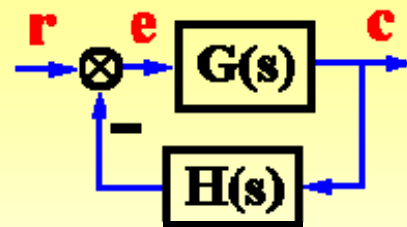
闭环极点与开环零点、开环极点及  $K^*$  均有关

## § 4.1.4

## 根轨迹方程 (1)

一般情况下

$$G(s)H(s) = \frac{K^* (s - z_1) \cdots (s - z_m)}{(s - p_1)(s - p_2) \cdots (s - p_n)} = \frac{K^* \prod_{i=1}^m (s - z_i)}{\prod_{j=1}^n (s - p_j)}$$



$$\Phi(s) = \frac{G(s)}{1 + G(s)H(s)} \quad 1 + G(s)H(s) = 0 \quad \text{— 闭环特征方程}$$

$$G(s)H(s) = \frac{K^* (s - z_1) \cdots (s - z_m)}{(s - p_1)(s - p_2) \cdots (s - p_n)} = -1 \quad \text{— 根轨迹方程}$$

$$|G(s)H(s)| = \frac{K^* |s - z_1| \cdots |s - z_m|}{|s - p_1| |s - p_2| \cdots |s - p_n|} = K^* \frac{\prod_{i=1}^m |s - z_i|}{\prod_{j=1}^n |s - p_j|} = 1 \quad \text{— 模 (幅) 值条件}$$

$$\angle G(s)H(s) = \sum_{i=1}^m \angle(s - z_i) - \sum_{j=1}^n \angle(s - p_j) = (2k + 1)\pi \quad \text{— 相角条件}$$

$$k = 0, \pm 1, \pm 2, \dots$$

## § 4.1.4

## 根轨迹方程 (2)

例2 判定 $s_i$ 是否为根轨迹上的点。

解.  $G(s) = \frac{K^*}{(s+1)(s+5)}$

模值条件  $K^* = |s+1||s+5|$

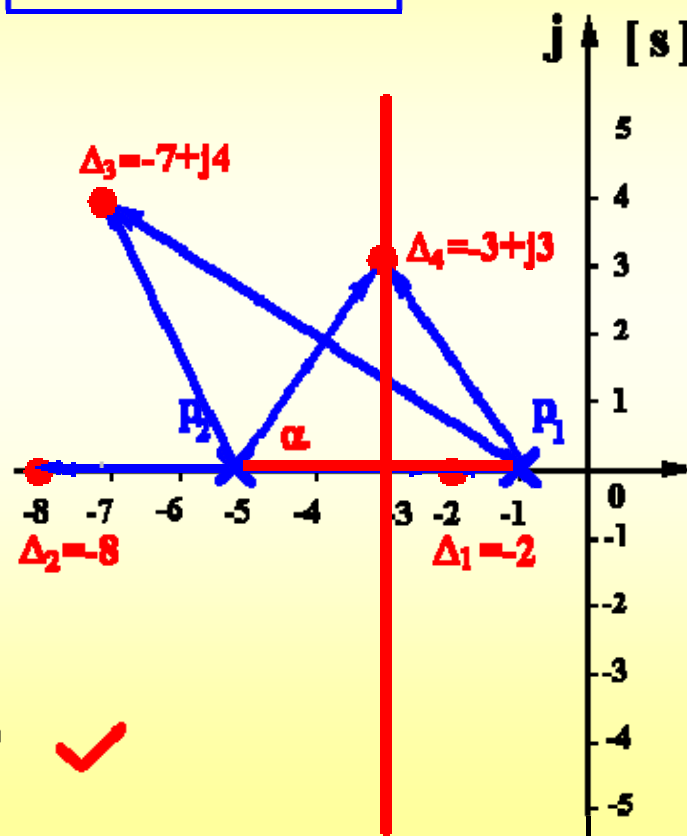
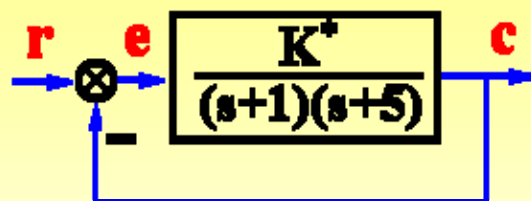
相角条件  $-\angle s-P_1 - \angle s-P_2 = (2k+1)\pi$

$\Delta_1 = -2 \begin{cases} K_{\Delta_1}^* = |-2+1||-2+5| = 3 \\ -\angle -2+1 - \angle -2+5 = -180 - 0 = -180 \end{cases} \quad \checkmark$

$\Delta_2 = -8 \begin{cases} K_{\Delta_2}^* = |-8+1||-8+5| = 21 \\ -\angle -8+1 - \angle -8+5 = -180 - 180 = -360 \end{cases} \quad \times$

$\Delta_3 = -7+j4 \begin{cases} K_{\Delta_3}^* = |-7+j4+1||-7+j4+5| \\ = \sqrt{6^2+4^2} \cdot \sqrt{2^2+4^2} = 32.25 \\ -\angle -7+j4+1 - \angle -7+j4+5 \neq (2k+1)\pi \end{cases} \quad \times$

$\Delta_4 = -3+j3 \begin{cases} K_{\Delta_4}^* = |-3+j3+1||-3+j3+5| = \sqrt{2^2+3^2} \cdot \sqrt{2^2+3^2} = 13 \\ -\angle -3+j3+1 - \angle -3+j3+5 = (180-\alpha) - \alpha = -180 \end{cases} \quad \checkmark$



## § 4. 1. 4 根轨迹方程 (3)

### 说明:

- 对s平面上任意的点，总存在一个  $K^*$ ，使其满足模值条件，但该点不一定是根轨迹上的点。
- s平面上满足相角条件的点（必定满足幅值条件）一定在根轨迹上。

满足相角条件是s点位于根轨迹上的充分必要条件。

- 根轨迹上某点对应的  $K^*$  值，应由模值条件来确定。



## § 4.2 绘制根轨迹的基本法则 (1)

### 法则1 根轨迹的连续性，分支数 and 对称性：

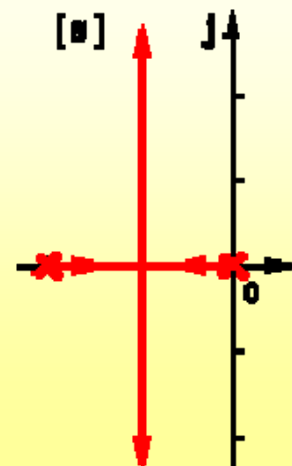
根轨迹的分支数=开环极点数；根轨迹连续且对称于实轴。

### 法则2 根轨迹的起点和终点：

根轨迹起始于开环极点，终止于开环零点；如果开环零点个数少于开环极点个数，则有  $n-m$  条根轨迹终止于无穷远处。

$$K^* = \frac{|s - p_1| \cdots |s - p_n|}{|s - z_1| \cdots |s - z_m|} = \frac{s^{n-m} \left| 1 - \frac{p_1}{s} \right| \cdots \left| 1 - \frac{p_n}{s} \right|}{\left| 1 - \frac{z_1}{s} \right| \cdots \left| 1 - \frac{z_m}{s} \right|} = 0 \quad s = p_i \quad i = 1, 2, \cdots n$$

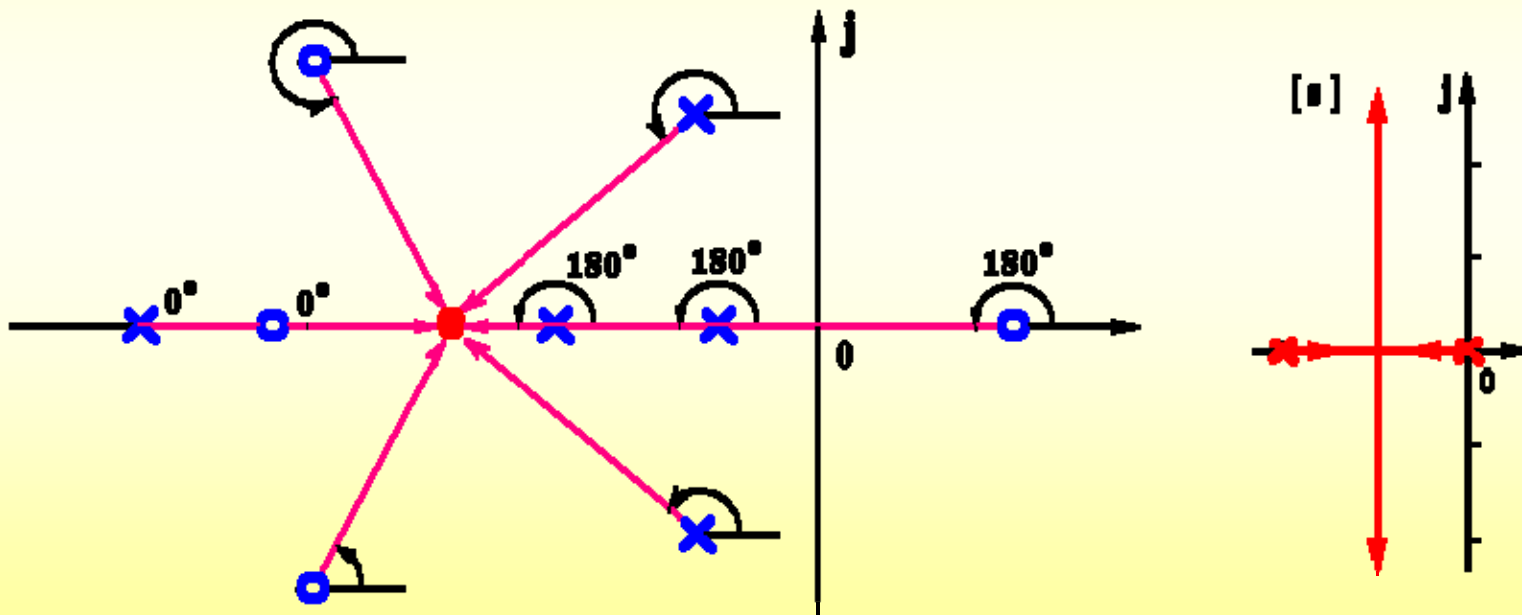
$$K^* = \frac{|s - p_1| \cdots |s - p_n|}{|s - z_1| \cdots |s - z_m|} = \frac{s^{n-m} \left| 1 - \frac{p_1}{s} \right| \cdots \left| 1 - \frac{p_n}{s} \right|}{\left| 1 - \frac{z_1}{s} \right| \cdots \left| 1 - \frac{z_m}{s} \right|} = \infty \quad \begin{cases} s = z_j \\ s = \infty \end{cases} \quad j = 1, 2, \cdots m$$



## § 4.2 绘制根轨迹的基本法则 (2)

### 法则3 实轴上的根轨迹:

从实轴上最右端的开环零、极点算起，奇数开环零、极点到偶数开环零、极点之间的区域必是根轨迹。



## § 4.2 绘制根轨迹的基本法则 (3)

例3 某单位反馈系统的开环传递函数为  $G(s) = \frac{K^*(s+2)}{s(s+1)}$   
 $K^* = 0 \rightarrow \infty$ ，证明复平面的根轨迹为圆弧。

$$G(s) = \frac{K^*(s+2)}{s(s+1)} \quad \begin{cases} K = 2K^* \\ \nu = 1 \end{cases}$$

$$D(s) = s(s+1) + K^*(s+2) = s^2 + (1+K^*)s + 2K^*$$

$$s_{1,2} = \frac{-(1+K^*) \pm \sqrt{(1+K^*)^2 - 8K^*}}{2}$$

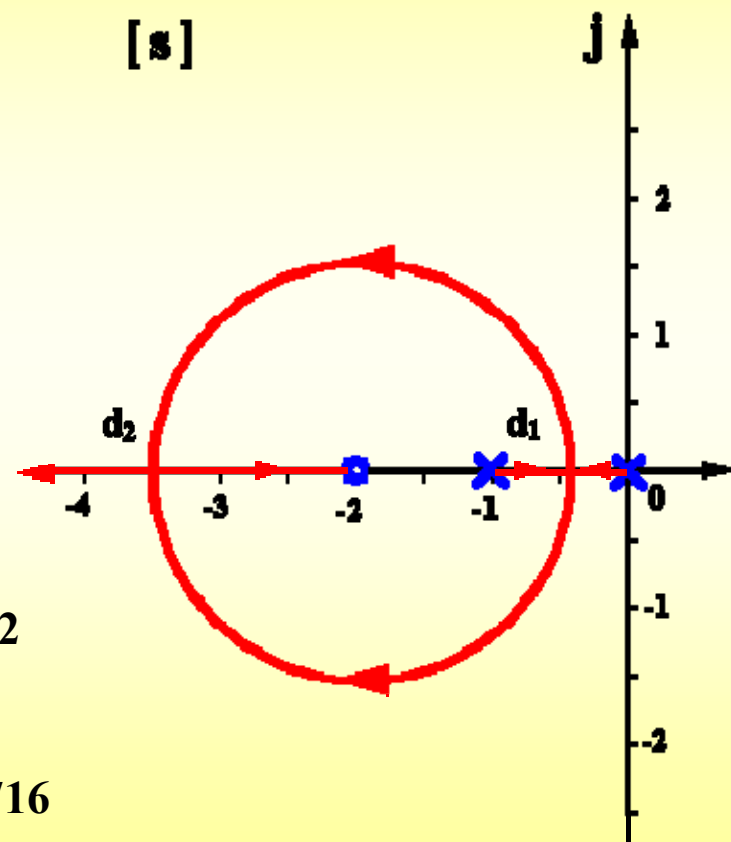
$$= \frac{-(1+K^*)}{2} \pm j \frac{\sqrt{8K^* - (1+K^*)^2}}{2} = \sigma \pm j\omega$$

$$\sigma = \frac{-(1+K^*)}{2} \Rightarrow K^* = -2\sigma - 1$$

$$\omega^2 = \frac{8K^* - (1+K^*)^2}{4} = \frac{-8(2\sigma+1) - 4\sigma^2}{4} = -\sigma^2 - 4\sigma - 2$$

$$\sigma^2 + 4\sigma + 4 + \omega^2 = 2 \quad (\sigma+2)^2 + \omega^2 = \sqrt{2}^2$$

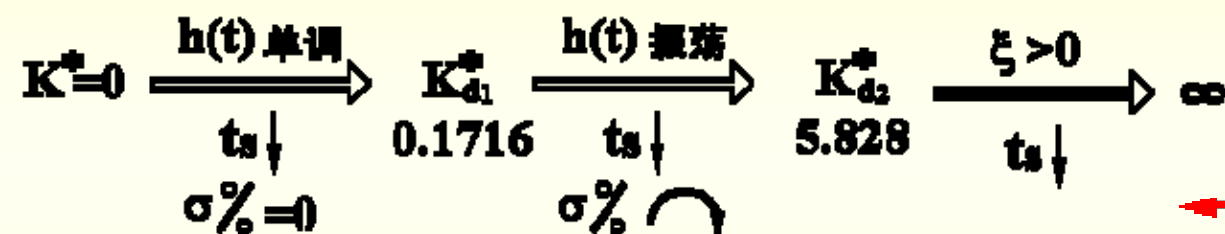
$$\Delta = (1+K^*)^2 - 8K^* = K^{*2} - 6K^* + 1 = 0 \quad \begin{cases} K_{d_1}^* = 0.1716 \\ K_{d_2}^* = 5.828 \end{cases}$$



## § 4.2 绘制根轨迹的基本法则 (4)

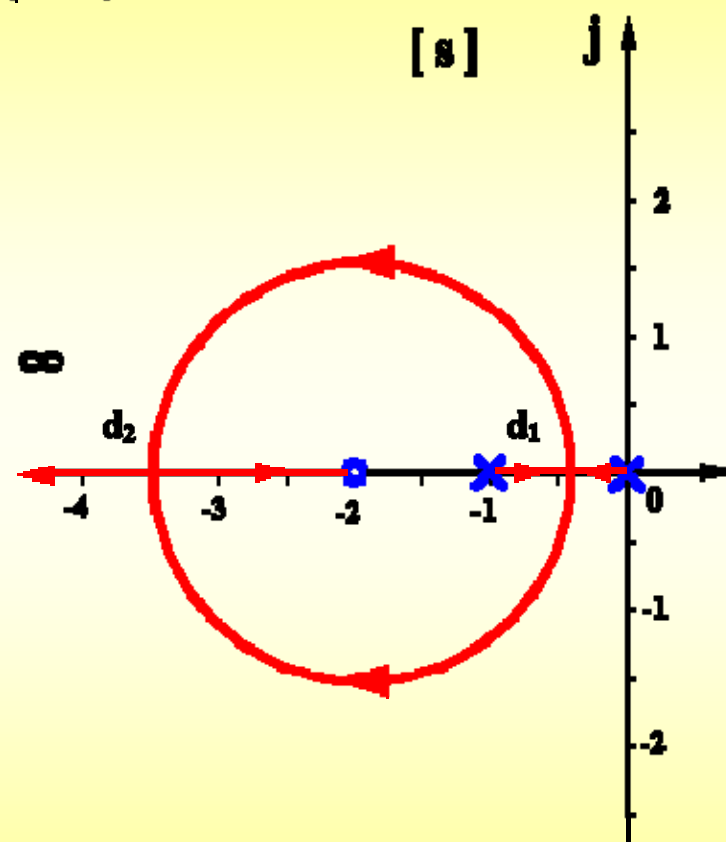
例3 某单位反馈系统的开环传递函数为  $G(s) = \frac{K^*(s+2)}{s(s+1)}$   
 $K^* = 0 \rightarrow \infty$ , 证明复平面的根轨迹为圆弧。

系统性能分析



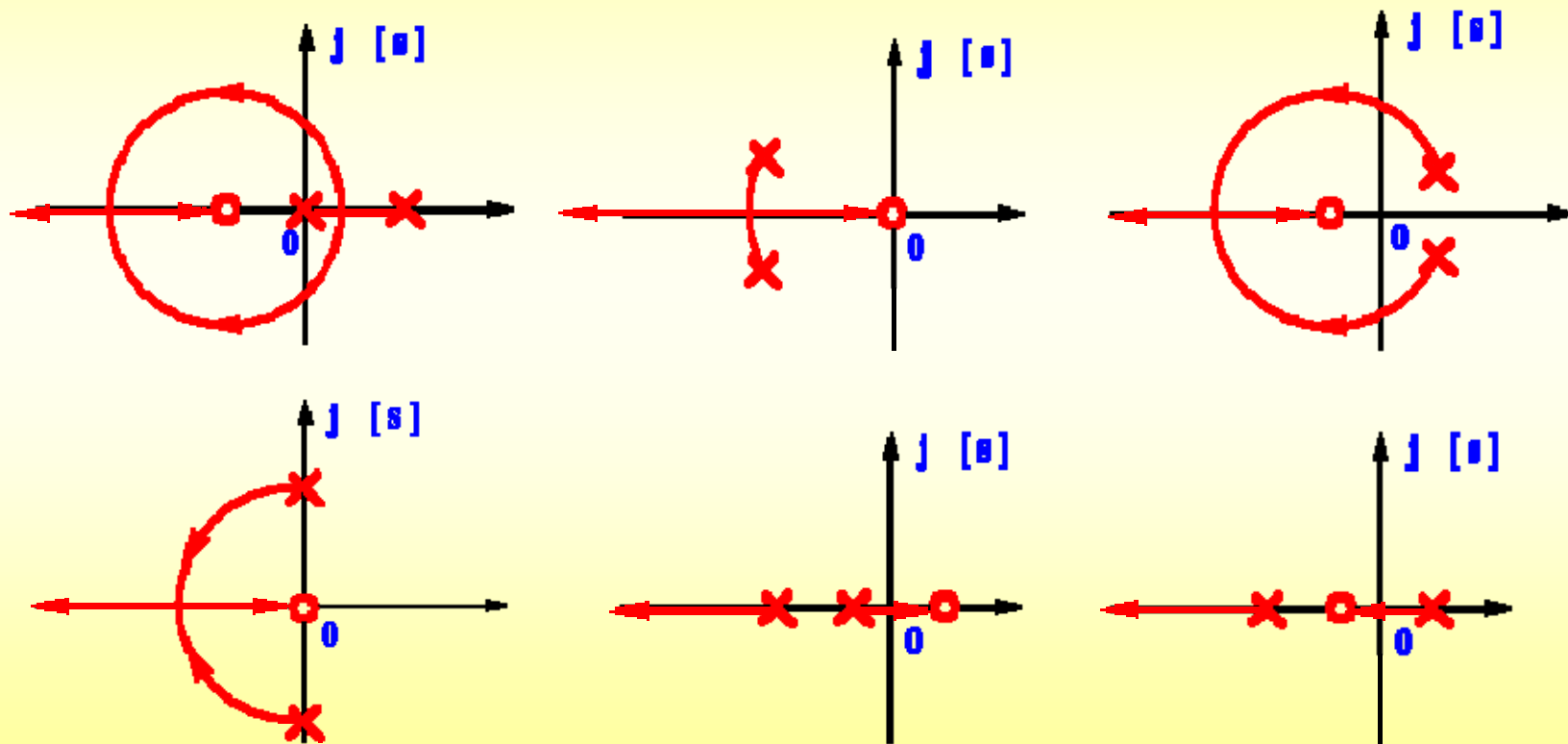
系统绝对稳定

$$K^* \uparrow \Rightarrow e_{ss} \xrightarrow{r(t)=t} \frac{A}{K} = \frac{1}{2K^*} \downarrow$$



## § 4.2 绘制根轨迹的基本法则 (5)

定理：若系统有2个开环极点，1个开环零点，且在复平面存在根轨迹，则复平面的根轨迹一定是以该零点为圆心的圆弧。



## § 4.2 绘制根轨迹的基本法则 (6)

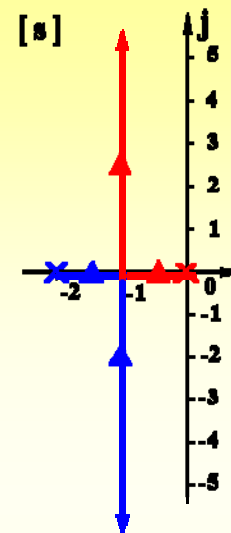
法则4 根之和:  $\sum_{i=1}^n \lambda_i = C \quad (n-m \geq 2)$

$n-m \geq 2$ 时, 闭环根之和保持一个常值。

证明: 
$$GH(s) = \frac{K^* (s - z_1) \cdots (s - z_m)}{(s - p_1) \cdots (s - p_n)} = \frac{K^* (s^m + b_{m-1}s^{m-1} + \cdots + b_0)}{s^n + a_{n-1}s^{n-1} + \cdots + a_0}$$

由代数定理: 
$$-a_{n-1} = \sum_{i=1}^n p_i = \sum_{i=1}^n \lambda_i = -a_{n-1} = C$$

$$\begin{aligned} D(s) &= s^n + a_{n-1}s^{n-1} + a_{n-2}s^{n-2} + a_{n-3}s^{n-3} + \cdots + a_0 \\ &\quad + K^*s^{n-2} + K^*b_{n-3}s^{n-3} + \cdots + K^*b_0 \\ \hline &= s^n + a_{n-1}s^{n-1} + (a_{n-2} + K^*)s^{n-2} + (a_{n-3} + K^*b_{n-3})s^{n-3} + \cdots + (a_0 + K^*b_0) \\ D(s) &= (s - \lambda_1)(s - \lambda_2) \cdots (s - \lambda_n) = 0 \end{aligned}$$



$n-m \geq 2$ 时, 一部分根左移, 另一部分根必右移, 且移动总量为零。

## § 4.2 绘制根轨迹的基本法则 (7)

法则5 渐近线:

$$\begin{cases} \sigma_a = \frac{\sum_{i=1}^n p_i - \sum_{j=1}^m z_j}{n - m} \\ \varphi_a = \frac{(2k+1)\pi}{n - m} \end{cases}$$

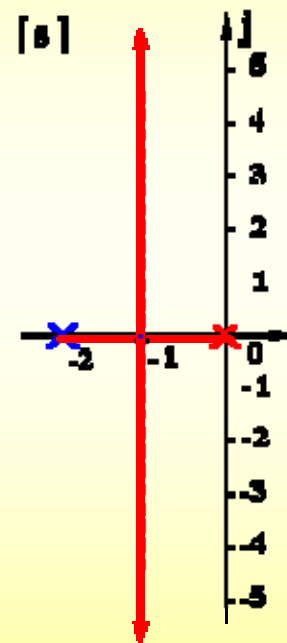
$n > m$ 时,  $n-m$ 条根轨迹分支趋于无穷远处的规律。

例1 系统开环传递函数为  $G(s) = \frac{K^*}{s(s+2)}$  试绘制根轨迹。

解. ① 实轴上的根轨迹:  $[-2, 0]$

② 渐近线:

$$\begin{cases} \sigma_a = \frac{\sum_{i=1}^n p_i - \sum_{j=1}^m z_j}{n - m} = \frac{-2 + 0}{2 - 0} = -1 \\ \varphi_a = \frac{(2k+1)\pi}{n - m} = \pm 90^\circ \end{cases}$$



## § 4.2 绘制根轨迹的基本法则 (8)

例2 系统结构图如图所示。

(1) 绘制当  $K^* = 0 \rightarrow \infty$  时系统的根轨迹；

(2) 当  $\text{Re}[\lambda_1] = -1$  时,  $\lambda_3 = ?$

解. (1) 
$$G(s) = \frac{K^*(s+2)}{s(s+1)(s+4)} \quad \begin{cases} K = K^*/2 \\ v = 1 \end{cases}$$

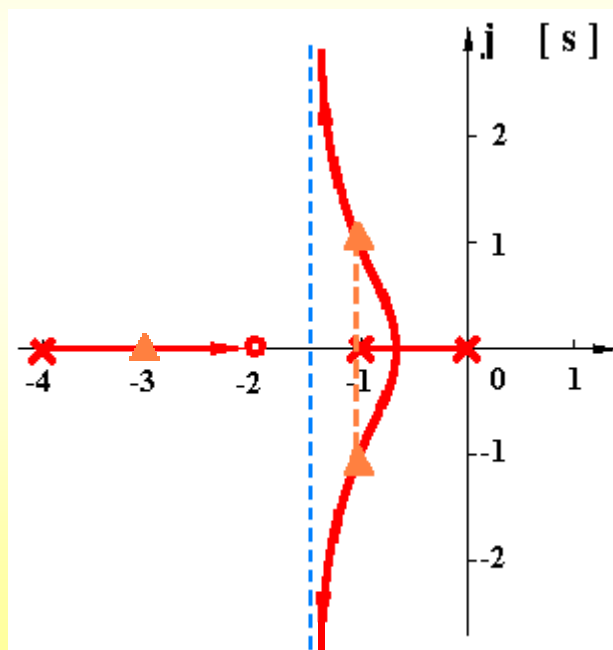
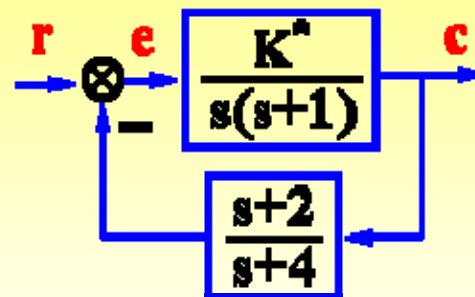
① 实轴上的根轨迹:  $[-4, -2]$ ,  $[-1, 0]$

② 渐近线: 
$$\begin{cases} \sigma_a = \frac{0-1-4+2}{3-1} = -\frac{3}{2} \\ \varphi_a = \frac{(2k+1)\pi}{3-1} = \pm 90^\circ \end{cases}$$

用根之和法则分析绘制根轨迹:

(2)  $a_{n-1} = 0 - 1 - 4 = -5 = \lambda_1 + \lambda_2 + \lambda_3 = 2(-1) + \lambda_3$

$$\lambda_3 = -5 + 2 = -3$$





## § 4.2 绘制根轨迹的基本法则 (9)

**法则6 分离点(会合点) d:**  $\sum_{i=1}^n \frac{1}{d - p_i} = \sum_{j=1}^m \frac{1}{d - z_j}$  (对应重根)

说明:  $D(s) = s(s+1)(s+4) + K^*(s+2) = (s + \lambda_3)(s - d)^2 = 0$

$$\frac{dD(s)}{ds} = \frac{d}{ds} [s(s+1)(s+4)] + K^* \frac{d}{ds} (s+2) = (s-d)^2 + 2(s-d)(s-\lambda_3) \stackrel{s=d}{=} 0$$

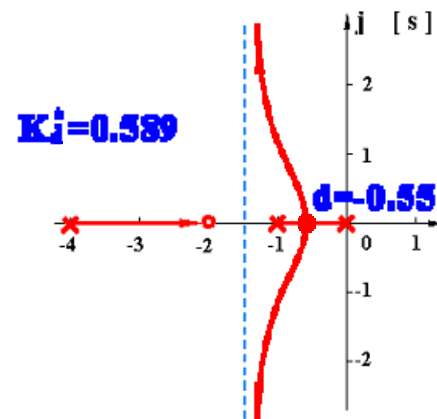
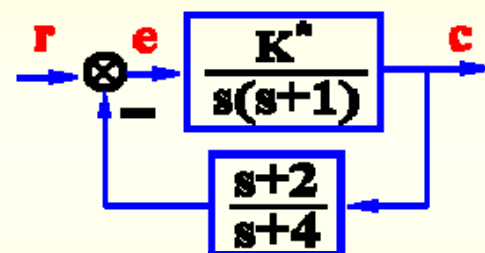
$$\frac{\frac{d}{ds} [s(s+1)(s+4)]}{s(s+1)(s+4)} = \frac{-K^* \frac{d}{ds} (s+2)}{-K^* (s+2)} = \frac{\frac{d}{ds} (s+2)}{s+2}$$

$$\frac{d}{ds} \ln[s(s+1)(s+4)] = \frac{d}{ds} \ln(s+2)$$

$$\frac{d}{ds} [\ln s + \ln(s+1) + \ln(s+4)] \stackrel{s=d}{=} \frac{d}{ds} \ln(s+2)$$

$$\frac{1}{d} + \frac{1}{d+1} + \frac{1}{d+4} = \frac{1}{d+2}$$

(无零点时右端为0)



## § 4.2 绘制根轨迹的基本法则 (10)

例3 单位反馈系统的开环传递函数为  $G(s) = \frac{K^*}{s(s+1)(s+2)}$ ，绘制根轨迹。

解.  $G(s) = \frac{K^*}{s(s+1)(s+2)} \quad \begin{cases} K = K^*/2 \\ v = 1 \end{cases} \quad [1]$

① 实轴上的根轨迹:  $[-\infty, -2], [-1, 0]$

② 渐近线:  $\begin{cases} \sigma_a = \frac{0-1-2}{3} = -1 \\ \varphi_a = \frac{(2k+1)\pi}{3} = \pm 60^\circ, 180^\circ \end{cases}$

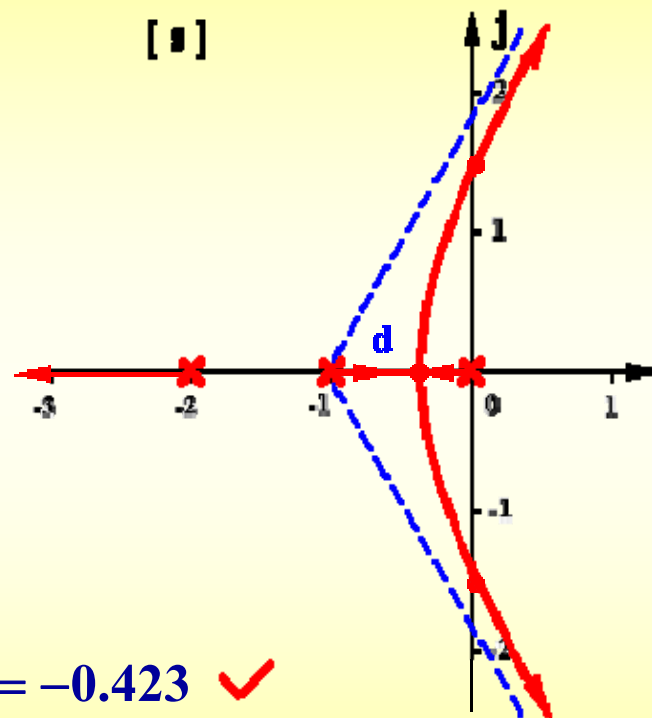
③ 分离点:  $\frac{1}{d} + \frac{1}{d+1} + \frac{1}{d+2} = 0$

整理得:  $3d^2 + 6d + 2 = 0$

解根:  $\begin{cases} d_1 = -0.423 \quad \checkmark \\ d_2 = -1.577 \quad \times \end{cases}$

④ 与虚轴交点: ?

$K_d^* = |d||d+1||d+2|^{d=-0.423} = 0.385$



## § 4.2 绘制根轨迹的基本法则 (11)

**法则7 与虚轴交点：**

- 1) 系统临界稳定点
- 2)  $s = j\omega$  是根的点

稳定范围：  $0 < K < 3$

[接例3]  $G(s) = \frac{K^*}{s(s+1)(s+2)}$

$$D(s) = s(s+1)(s+2) + K^* = s^3 + 3s^2 + 2s + K^* = 0$$

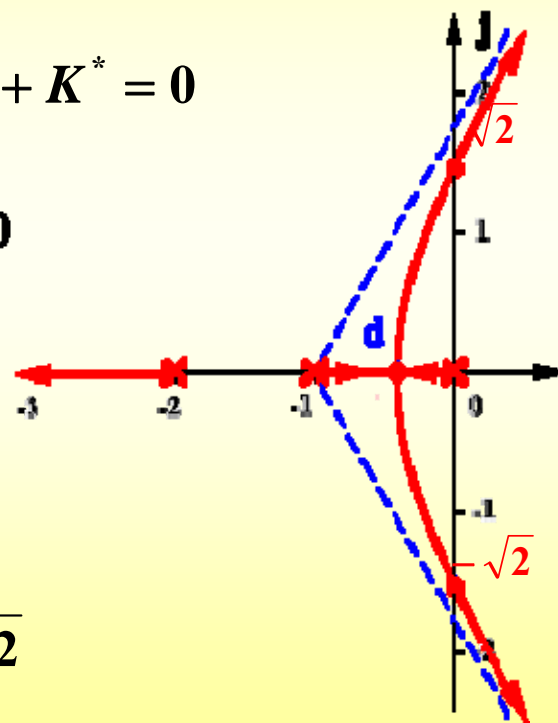
解法I : Routh :

$s^3$	1	2	
$s^2$	3	$K^*$	$\Rightarrow \diamond K^* = 6$
$s^1$	$\frac{6-K^*}{3}$		$\Rightarrow K^* < 6$
$s^0$	$K^*$		$\Rightarrow K^* > 0$

$$\begin{cases} 3s^2 + 6 = 0 \\ s = \pm j\sqrt{2} \end{cases}$$

解法II :  $D(j\omega) = -j\omega^3 - 3\omega^2 + j2\omega + K^* = 0$

$$\begin{cases} \text{Re}[D(j\omega)] = -3\omega^2 + K^* = 0 \\ \text{Im}[D(j\omega)] = -\omega^3 + 2\omega = 0 \end{cases} \quad \begin{cases} \omega = \pm\sqrt{2} \\ K^* = 6 \end{cases}$$

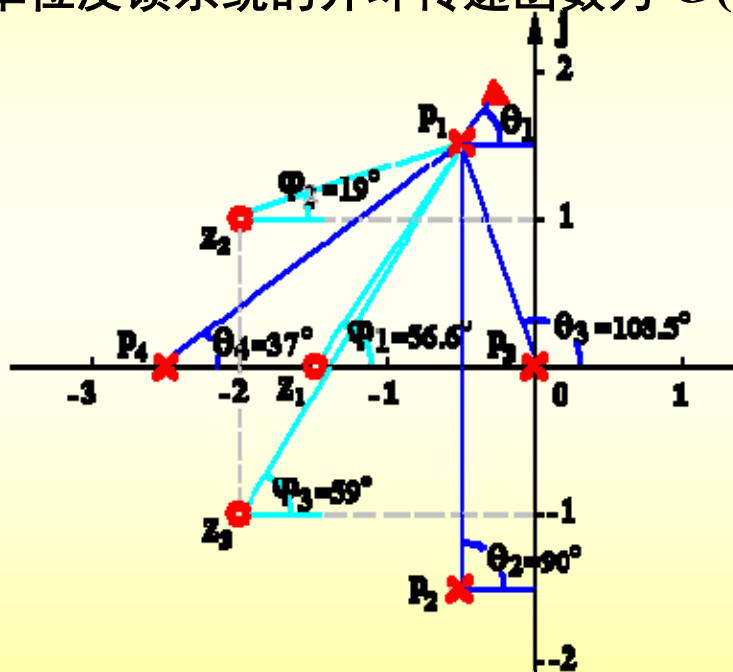


## § 4.2 绘制根轨迹的基本法则 (12)

法则8 出射角/入射角  
(起始角/终止角)

$$\sum_{i=1}^n \angle(s-p_i) - \sum_{j=1}^m \angle(s-z_j) = (2k+1)\pi$$

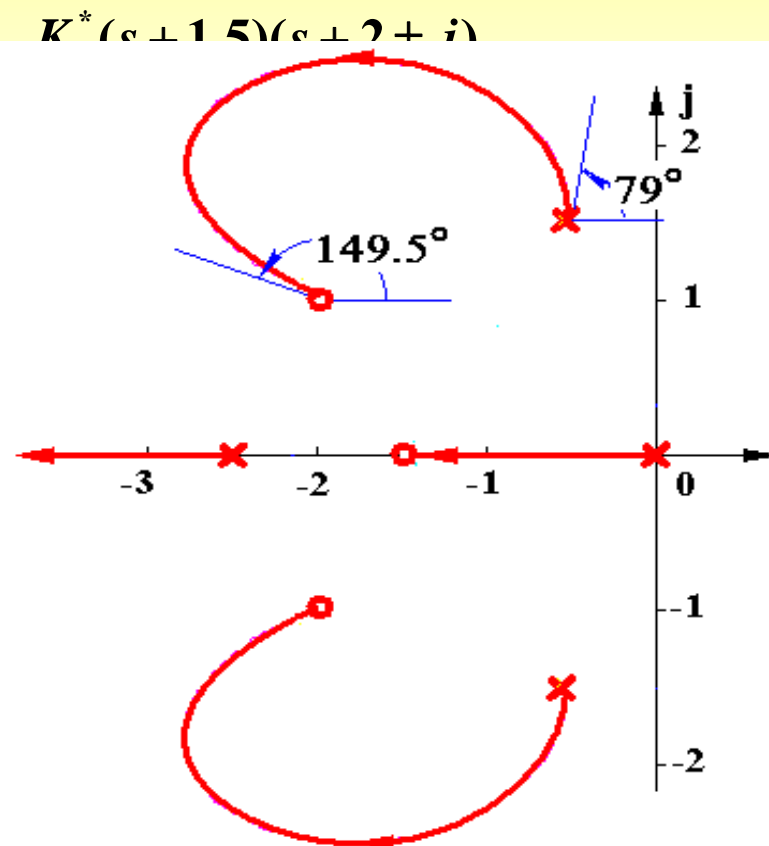
例4 单位反馈系统的开环传递函数为  $G(s) = \frac{K^*}{(s+1.5)(s+2+i)(s+2-i)}$



$$56.5^\circ + 19^\circ + 59^\circ - [\theta_1 + 90^\circ + 108.5^\circ]$$

$$[117^\circ + \varphi_2 + 90^\circ] - [199^\circ + 121^\circ + 153^\circ + 65.5^\circ] = -160^\circ$$

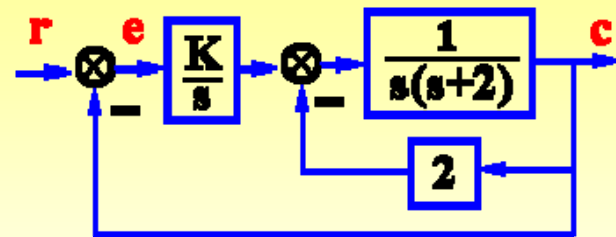
$$\varphi_2 = 149.5^\circ$$



## § 4.2 绘制根轨迹的基本法则 (13)

例5 已知系统结构图，绘制根轨迹。

解. 
$$G(s) = \frac{K}{s} \frac{1}{1 + \frac{2}{s(s+2)}} = \frac{K}{s[s^2 + 2s + 2]} \quad \begin{cases} K_k = K/2 \\ v = 1 \end{cases}$$



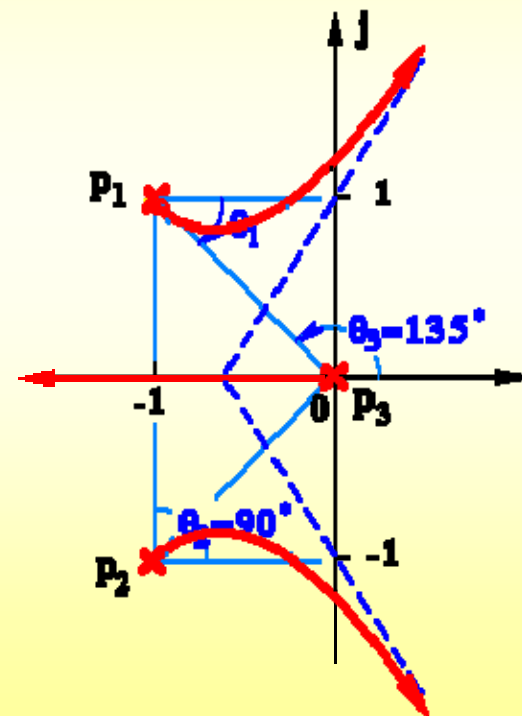
① 实轴上的根轨迹:  $[-\infty, 0]$

② 渐近线: 
$$\begin{cases} \sigma_a = \frac{0-1-1}{3} = -\frac{2}{3} \\ \varphi_a = \frac{(2k+1)\pi}{3} = \pm 60^\circ, 180^\circ \end{cases}$$

③ 出射角:  $0 - [\theta_1 + 90^\circ + 135^\circ] = -180^\circ \Rightarrow \theta_1 = -45^\circ$

④ 与虚轴交点:  $D(s) = s^3 + 2s^2 + 2s + K = 0$

$$\begin{cases} \operatorname{Re}[D(j\omega)] = -2\omega^2 + K = 0 \\ \operatorname{Im}[D(j\omega)] = -\omega^3 + 2\omega = 0 \end{cases} \quad \begin{cases} \omega = \pm\sqrt{2} \\ K = 4 \end{cases}$$



## § 4.2 绘制根轨迹的基本法则 (14)

例6 单位反馈系统的开环传递函数为  $G(s) = \frac{K^*}{s(s+20)(s^2+4s+20)}$ , 绘制根轨迹。

解.  $G(s) = \frac{K^*}{s(s+20)(s+2 \pm j4)}$   $\begin{cases} K = K^*/400 \\ \nu = 1 \end{cases}$

① 实轴上的根轨迹:  $[-20, 0]$

② 渐近线:  $\sigma_a = \frac{0-20-2-2}{4} = -6$   $\varphi_a = \frac{(2k+1)\pi}{4} = \pm 45^\circ, \pm 135^\circ$

③ 出射角:  $-\left[\theta_1 + 90^\circ + 116.5^\circ + 12.5^\circ\right] = -180^\circ \Rightarrow \theta_1 = -39^\circ$

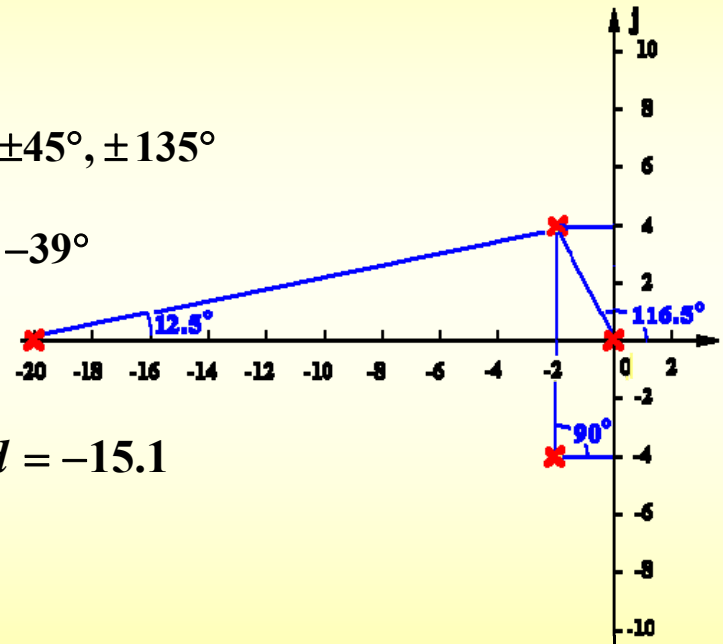
③ 分离点:  $\frac{1}{d} + \frac{1}{d+20} + \frac{1}{d+2+j4} + \frac{1}{d+2-j4} = 0$

$$\frac{1}{d} + \frac{1}{d+20} + \frac{2(d+2)}{(d+2)^2 + 4^2} = 0 \quad \text{试根得: } d = -15.1$$

$$K_d^* = |d||d+20|(d+2)^2 + 4^2 \Big|^{d=-15.1} = 13881$$

④ 虚轴交点:  $D(s) = s^4 + 24s^3 + 100s^2 + 400s + K^* = 0$

$$\begin{cases} \operatorname{Re}[D(j\omega)] = \omega^4 - 100\omega^2 + K^* = 0 \\ \operatorname{Im}[D(j\omega)] = -24\omega^3 + 400\omega = 0 \end{cases} \quad \begin{cases} \omega = \sqrt{400/24} = 4.1 \\ K^* = 1389 \end{cases}$$



## § 4.2 绘制根轨迹的基本法则 (15)

例6  $G(s) = \frac{K^*}{s(s+20)(s+2 \pm j4)}$

$$\begin{cases} K = K^*/400 \\ \nu = 1 \end{cases}$$

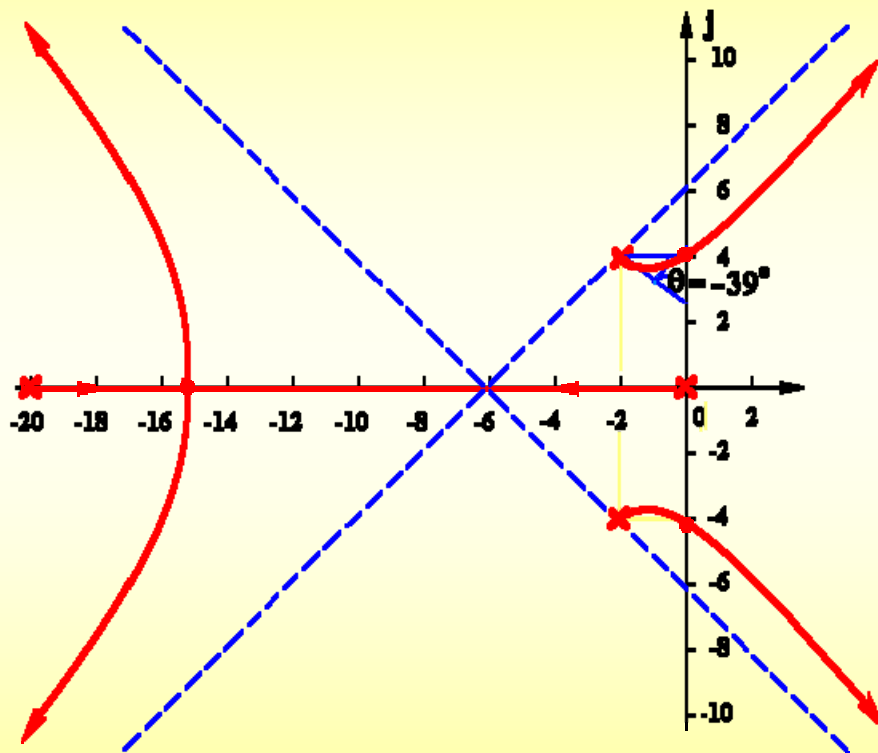
① 实轴上的根轨迹:  $[-20, 0]$

② 渐近线:  $\begin{cases} \sigma_a = -6 \\ \varphi_a = \pm 45^\circ, \pm 135^\circ \end{cases}$

③ 出射角:  $\theta = -39^\circ$

③ 分离点:  $d = -15.1$   
 $K_d^* = 13881$

④ 虚轴交点:  $\begin{cases} \omega = 4.1 \\ K^* = 1389 \end{cases}$



稳定的开环增益范围:  $0 < K < 3.4725$

## § 4.2 绘制根轨迹的基本法则 (16)

例7 已知  $G(s) = \frac{K^*(s+1)}{s(s-1)(s^2+4s+16)}$ , 绘根轨迹; 求稳定的K范围。

解.  $G(s) = \frac{K^*(s+1)}{s(s-1)(s+2 \pm j2\sqrt{3})} \quad \begin{cases} K = K^*/16 \\ \nu = 1 \end{cases}$

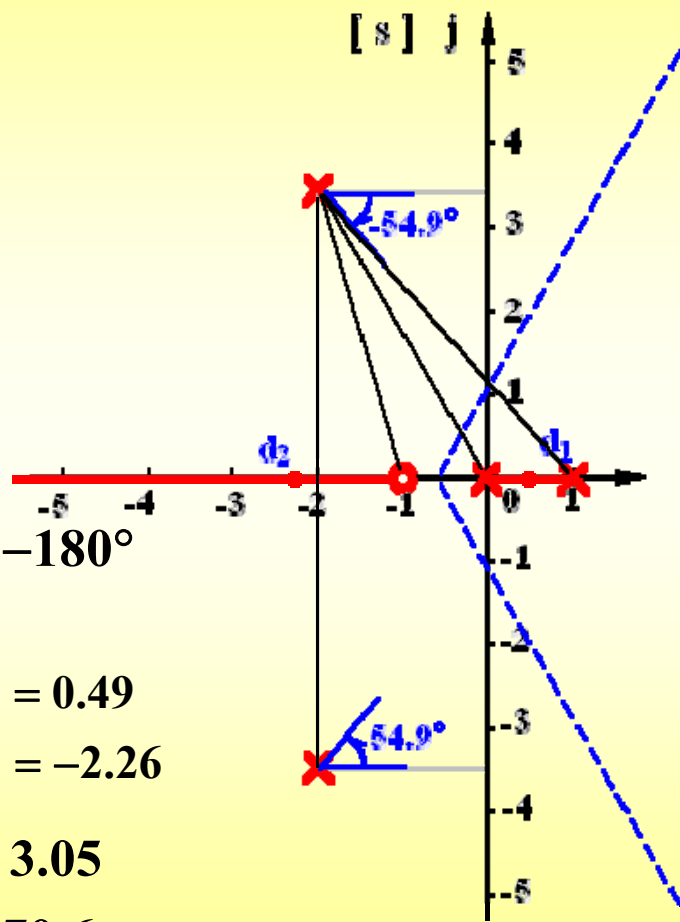
① 实轴上的根轨迹:  $(-\infty, -1], [0, 1]$

② 渐近线:  $\begin{cases} \sigma_a = (1-4+1)/3 = -2/3 \\ \varphi_a = (2k+1)\pi/3 = \pm 60^\circ, 180^\circ \end{cases}$

③ 出射角:  $106.1^\circ - [\theta_1 + 90^\circ + 120^\circ + 130.9^\circ] = -180^\circ$   
 $\Rightarrow \theta_1 = -54.9^\circ$

④ 分离点:  $\frac{1}{d} + \frac{1}{d-1} + \frac{2(d+2)}{d^2+4d+16} = \frac{1}{d+1} \quad \begin{cases} d_1 = 0.49 \\ d_2 = -2.26 \end{cases}$

$$K_{d_{1,2}}^* = \frac{|d||d-1||d^2+4d+16|}{|d+1|} \quad \begin{matrix} d=0.49 \\ d=-2.26 \end{matrix} \begin{cases} 3.05 \\ 70.6 \end{cases}$$





## § 4.2 绘制根轨迹的基本法则 (17)

例7  $G(s) = \frac{K^*(s+1)}{s(s-1)(s^2+4s+16)} \quad \begin{cases} K = K^*/16 \\ \nu = 1 \end{cases}$

⑤ 虚轴交点:

$$D(s) = s^4 + 3s^3 + 12s^2 + (K^* - 16)s + K^* = 0$$

$$\begin{cases} \operatorname{Re}[D(j\omega)] = \omega^4 - 12\omega^2 + K^* = 0 \\ \operatorname{Im}[D(j\omega)] = -3\omega^3 + (K^* - 16)\omega = 0 \end{cases}$$

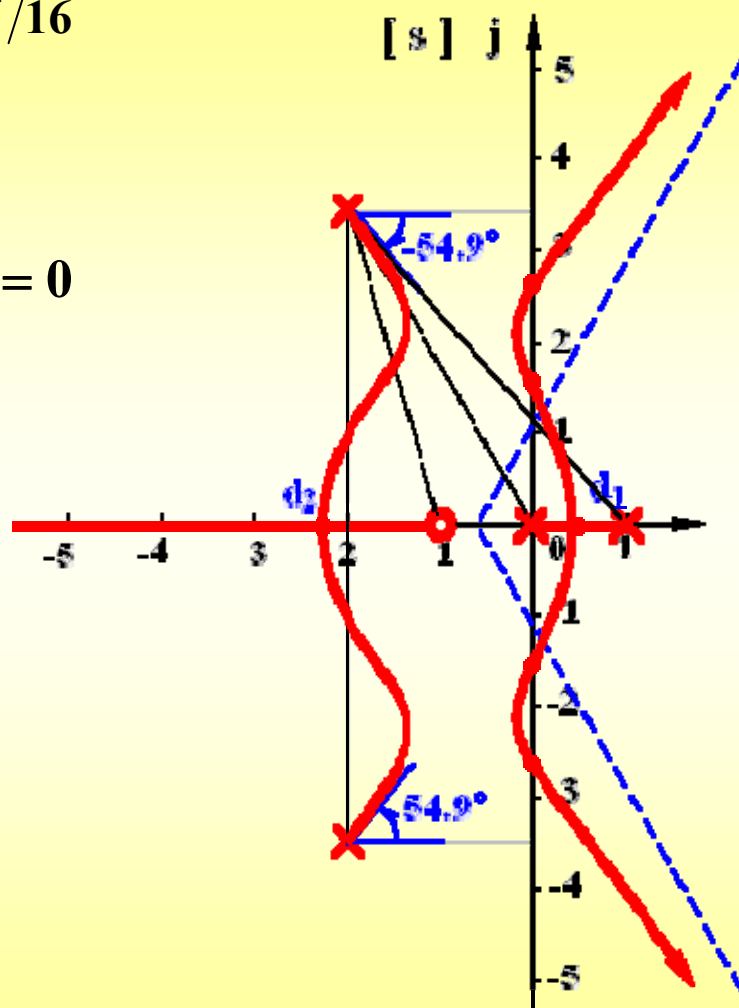
$$K^* = 3\omega^2 + 16$$

$$\omega^4 - 9\omega^2 + 16 = 0$$

$$\begin{cases} \omega_1 = 1.56 & \begin{cases} K_1^* = 19.7 \\ K_2^* = 35.7 \end{cases} \\ \omega_2 = 2.56 \end{cases}$$

稳定的  $K^*$  范围:  $19.7 < K^* < 35.7$

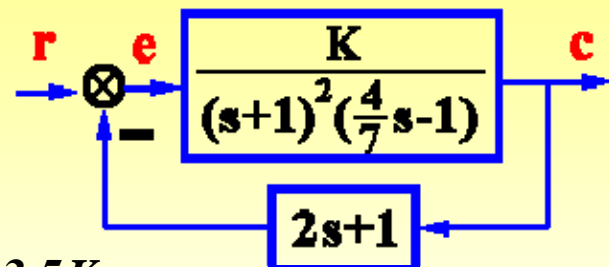
稳定的  $K$  范围:  $1.234 < K = \frac{K^*}{16} < 2.23$



## § 4.2 绘制根轨迹的基本法则 (18)

例8 系统结构图如图所示

- (1) 绘制当  $K^* = 0 \rightarrow \infty$  时系统的根轨迹;
- (2) 分析系统稳定性随  $K^*$  变化的规律。



解. (1)  $G(s) = \frac{K(2s+1)}{(s+1)^2(\frac{4}{7}s-1)} = \frac{3.5K(s+1/2)}{(s+1)^2(s-\frac{7}{4})} \quad \begin{cases} K^* = 3.5K \\ \nu = 0 \end{cases}$

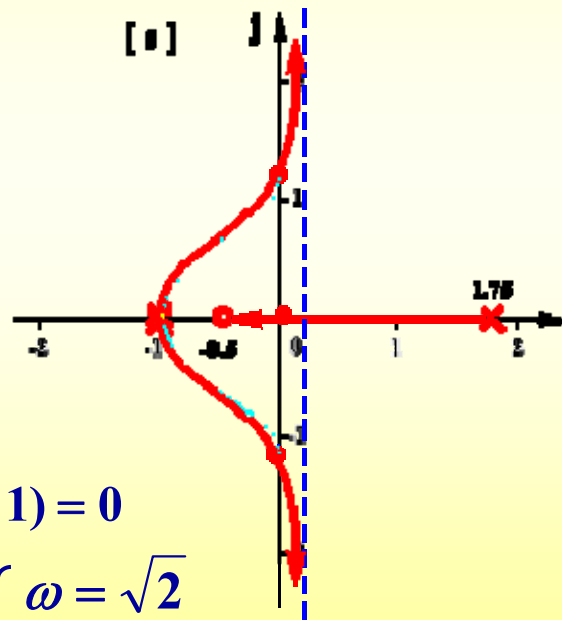
① 实轴上的根轨迹:  $[-0.5, 1.75]$

② 渐近线:  $\begin{cases} \sigma_a = \frac{-2 + 7/4 + 1/2}{3-1} = \frac{1}{8} \\ \varphi_a = \frac{(2k+1)\pi}{3-1} = \pm 90^\circ \end{cases}$

③ 出射角:  $180^\circ - [2\theta + 180^\circ] = -180^\circ \Rightarrow \theta = 90^\circ$

④ 与虚轴交点:  $7D(s) = 4s^3 + s^2 + (14K - 10)s + 7(K - 1) = 0$

$$\begin{cases} \operatorname{Re}[D(j\omega)] = -\omega^2 + 7(K-1) = 0 \\ \operatorname{Im}[D(j\omega)] = -4\omega^3 + (14K-10)\omega = 0 \end{cases} \begin{cases} \omega = 0 \\ K = 1 \end{cases} \begin{cases} \omega = \sqrt{2} \\ K = 9/7 \end{cases}$$



## § 4.2

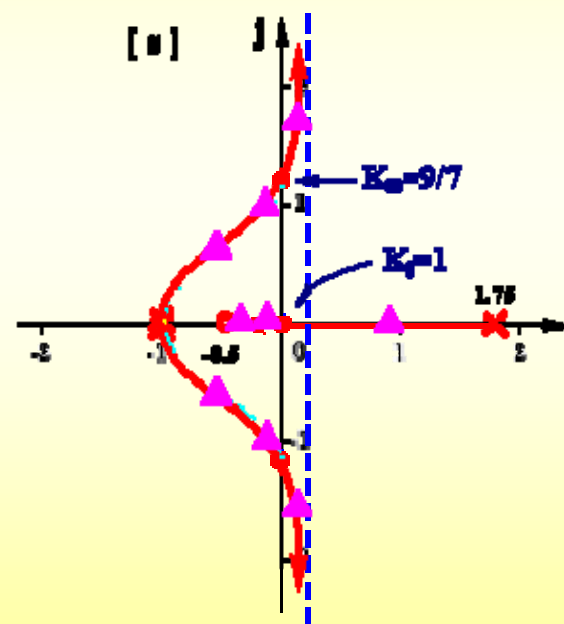
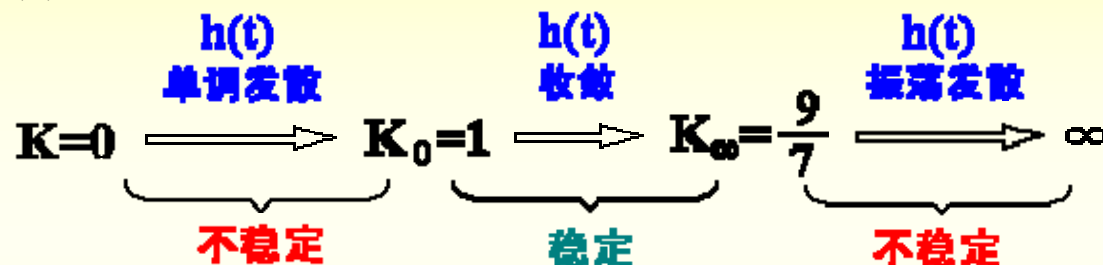
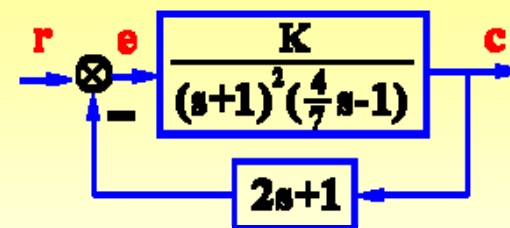
# 绘制根轨迹的基本法则 (19)

例1 系统结构图如图所示

(1) 绘制当  $K^* = 0 \rightarrow \infty$  时系统的根轨迹;

(2) 分析系统稳定性随  $K^*$  变化的规律。

解. (2) 分析:



开环稳定  $\neq$  闭环稳定

负反馈未必一定能改善系统性能

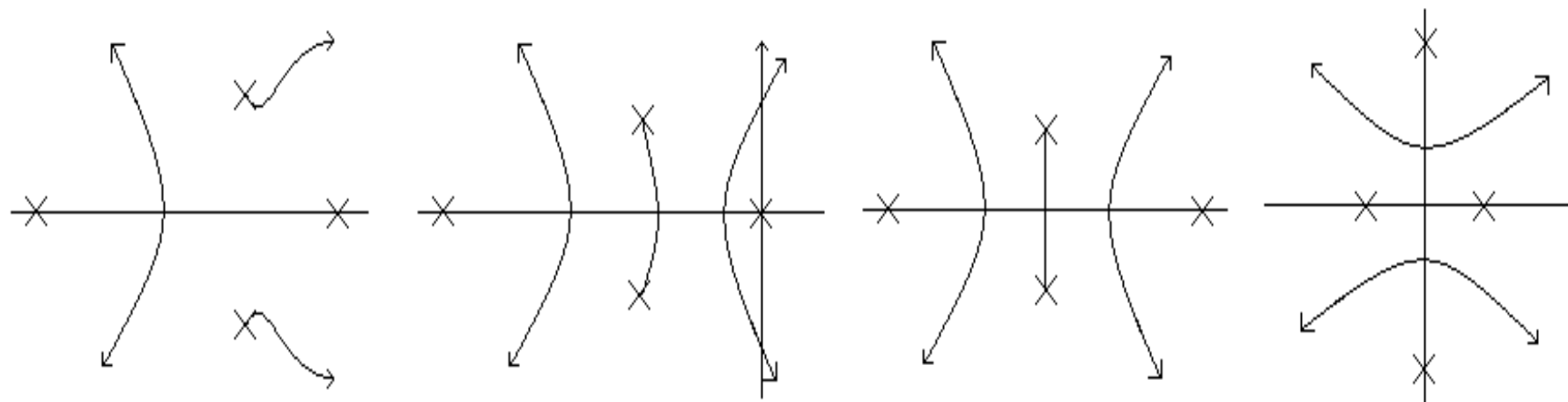
## § 4.2

# 绘制根轨迹的基本法则 (20)

### 说明:

用以上法则，只能概略的画出根轨迹(误差20%)

开环零极点的位置有时略有变化，根轨迹可能有显著的不同，要依据情况具体分析而确定（关键在于分离点的确定）



# 绘制根轨迹基本法则（小结）

法则 1 根轨迹的起点和终点

法则 2 根轨迹的分支数，对称性和连续性

法则 3 实轴上的根轨迹

法则 4 根之和 
$$\sum_{i=1}^n \lambda_i = \sum_{i=1}^n p_i = C \quad (n - m \geq 2)$$

法则 5 渐近线 
$$\sigma_a = \frac{\sum_{i=1}^n p_i - \sum_{j=1}^m z_j}{n - m} \quad \varphi_a = \frac{(2k + 1)\pi}{n - m}$$

法则 6 分离点与会合点 
$$\sum_{i=1}^n \frac{1}{d - p_i} = \sum_{j=1}^m \frac{1}{d - z_j}$$

法则 7 与虚轴交点 
$$\operatorname{Re}[D(j\omega)] = \operatorname{Im}[D(j\omega)] = 0$$

法则 8 出射角/入射角 
$$\sum_{i=1}^n \angle(s - p_i) - \sum_{j=1}^m \angle(s - z_j) = (2k + 1)\pi$$

## § 4.3 广义根轨迹

### § 4.3.1 参数根轨迹 — 除 $K^*$ 之外其他参数变化时系统的根轨迹

例1 单位反馈系统开环传递函数  $G(s) = \frac{(s+a)/4}{s^2(s+1)}$   $a=0 \rightarrow \infty$  变化, 绘制根轨迹;  $\xi=1$  时,  $\Phi(s)=?$

解. (1)  $D(s) = s^3 + s^2 + \frac{1}{4}s + \frac{1}{4}a = 0$

构造“等效开环传递函数”  $G^*(s) = \frac{a/4}{s^3 + s^2 + s/4} = \frac{a/4}{s(s+0.5)^2}$

① 实轴根轨迹:  $[-\infty, 0]$

② 渐近线:  $\sigma_a = -1/3$   $\varphi_a = \pm 60^\circ, 180^\circ$

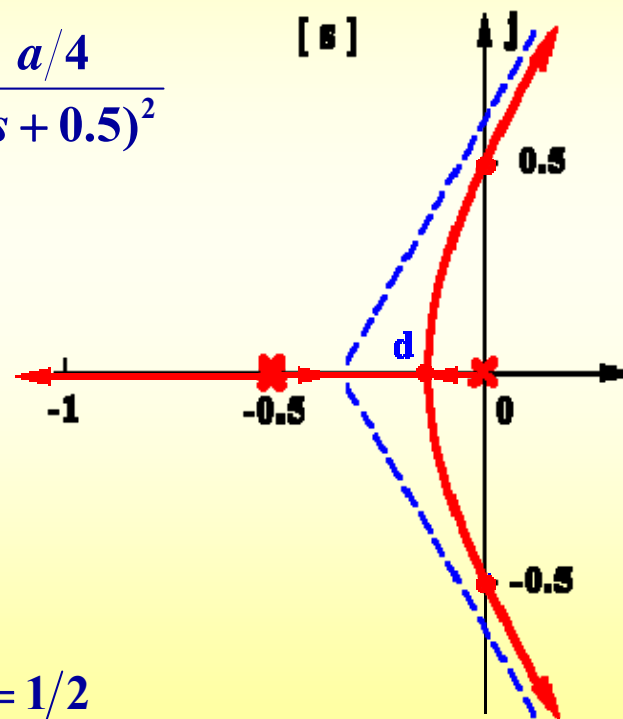
③ 分离点:  $\frac{1}{d} + \frac{2}{d+0.5} = 0$

整理得:  $3d + 0.5 = 0 \Rightarrow d = -1/6$

$$a_d = 4|d||d+0.5|^2 = 2/27$$

④ 与虚轴交点:  $D(s) = s^3 + s^2 + s/4 + a/4 = 0$

$$\begin{cases} \operatorname{Re}[D(j\omega)] = -\omega^2 + a/4 = 0 \\ \operatorname{Im}[D(j\omega)] = -\omega^3 + \omega/4 = 0 \end{cases} \begin{cases} \omega = 1/2 \\ a = 1 \end{cases}$$

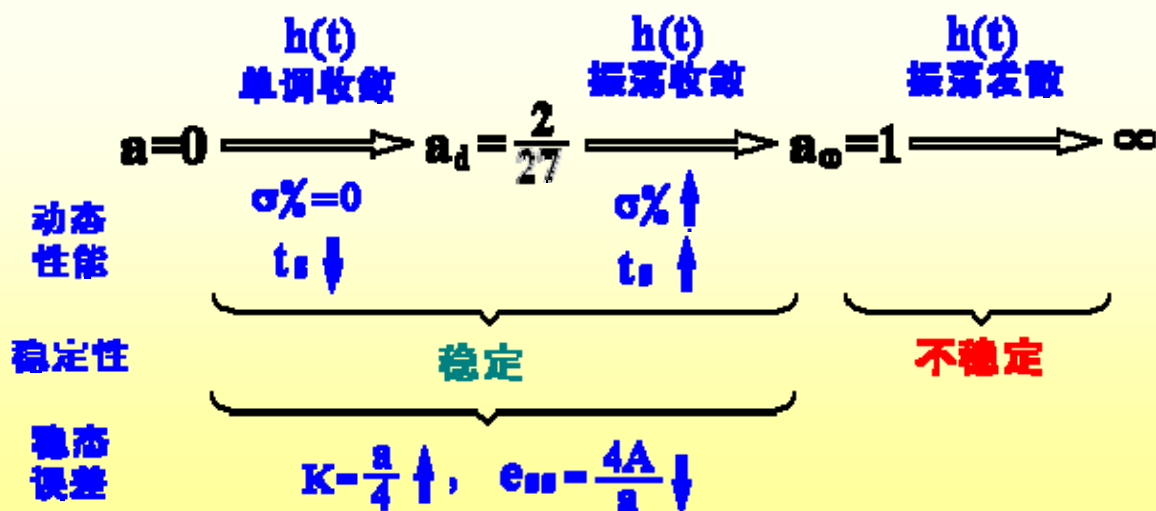
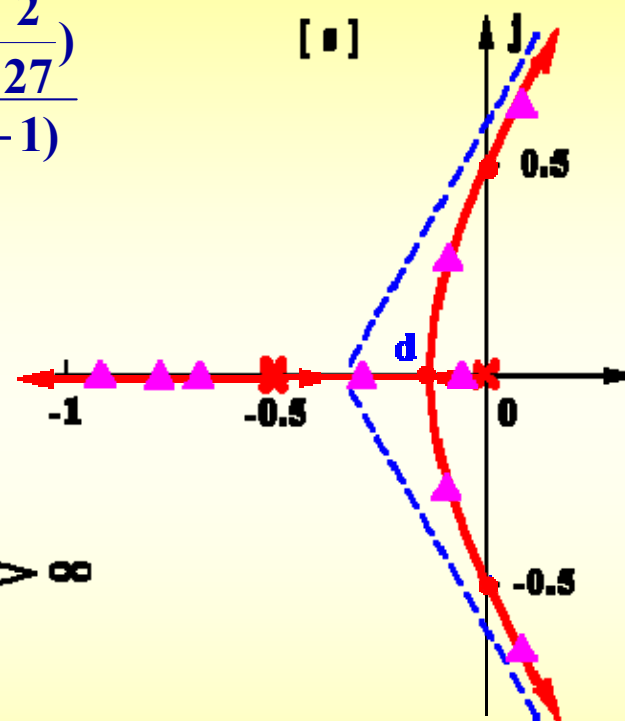


## § 4.3.1 参数根轨迹 (1)

解. (2)  $\xi=1$  时, 对应于分离点  $d$ ,  $a_d=2/27$

$$G^*(s) = \frac{a/4}{s(s+0.5)^2} \quad G(s) = \frac{\frac{1}{4}(s+a)}{s^2(s+1)} \quad a=2/27 \quad \frac{1}{4}(s+\frac{2}{27})$$

$$\Phi(s) = \frac{\frac{1}{4}(s+\frac{2}{27})}{s^2(s+1) + \frac{1}{4}(s+\frac{2}{27})} = \frac{\frac{1}{4}(s+\frac{2}{27})}{(s+\frac{1}{6})^2(s+\frac{2}{3})}$$

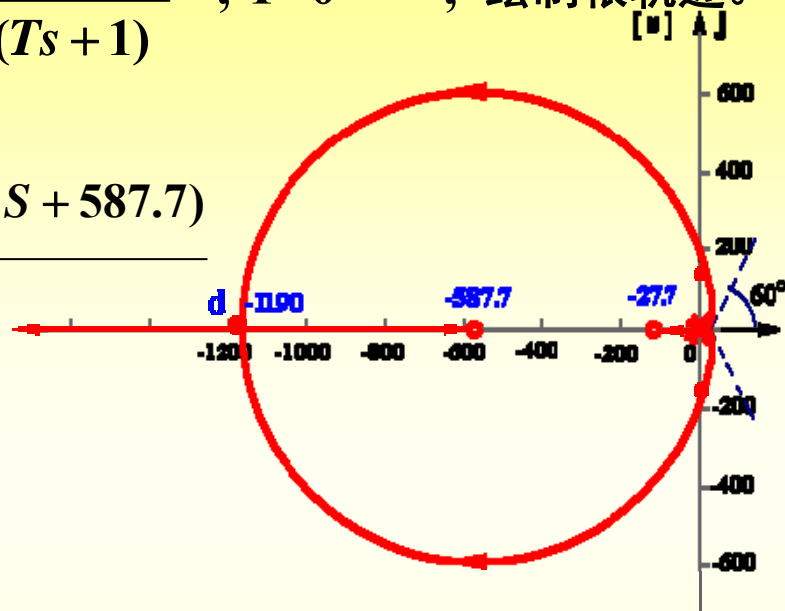


## § 4.3.1 参数根轨迹 (2)

例2 单位反馈系统的开环传递函数为  $G(s) = \frac{615(s+26)}{s^2(Ts+1)}$ ,  $T=0 \rightarrow \infty$ , 绘制根轨迹。

解 I.  $D(s) = Ts^3 + s^2 + 615s + 15990 = 0$

$$G^*(s) = \frac{\frac{1}{T}(s^2 + 615s + 15990)}{s^3} = \frac{\frac{1}{T}(s + 27.7)(s + 587.7)}{s^3}$$



① 实轴上的根轨迹:  $[-\infty, -587.7], [-27.7, 0]$

② 出射角:  $2 \times 0 - 3\theta = (2k+1)\pi$   
 $\theta = \pm 60^\circ, 180^\circ$

③ 虚轴交点:  $\begin{cases} \text{Re}[D(j\omega)] = -\omega^2 + 15990 = 0 \\ \text{Im}[D(j\omega)] = -T\omega^3 + 615\omega = 0 \end{cases} \quad \begin{cases} \omega = \sqrt{15990} = 126.45 \\ T = 615/15990 = 0.0385 \end{cases}$

④ 分离点:  $\frac{3}{d} = \frac{1}{d+27.7} + \frac{1}{d+587.7}$

整理得:  $d^2 + 1231d + 47970 = 0$

解根:  $\begin{cases} d_1 = -40.5, & d_2 = -1190 \quad \checkmark \\ T_d = \frac{|d+27.7||d+587.7|}{|d|^3} = 0.00055 \end{cases}$



## § 4.3.1 参数根轨迹 (3)

例2 单位反馈系统的开环传递函数为  $G(s) = \frac{615(s+26)}{s^2(Ts+1)}$ ,  $T=0 \rightarrow \infty$ , 绘制根轨迹。

解II.  $D(s) = Ts^3 + s^2 + 615s + 15990 = 0$

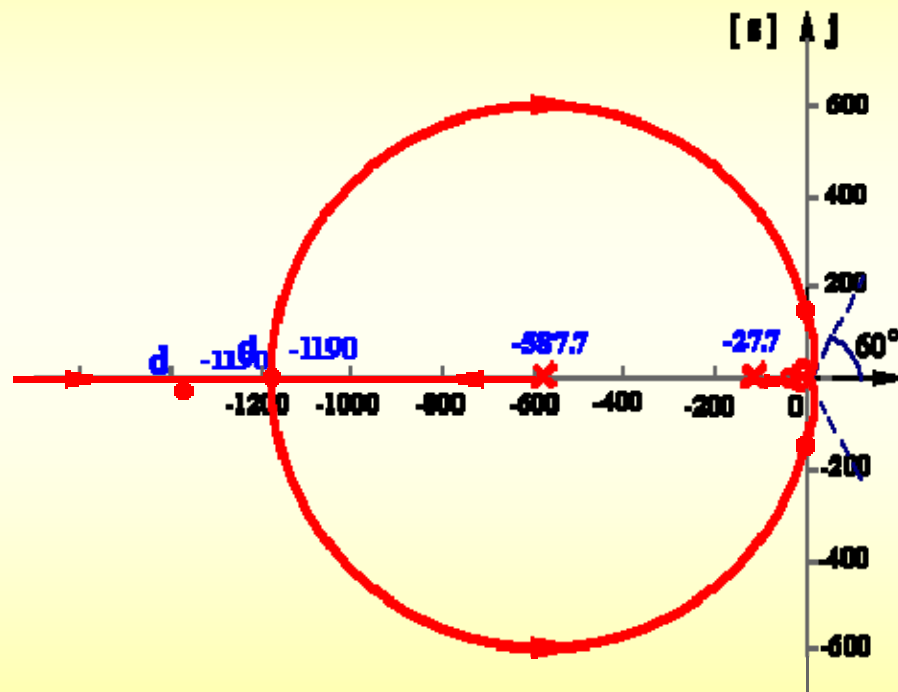
$$G_2^*(s) = \frac{Ts^3}{(s+27.7)(s+587.7)}$$

① 实轴根轨迹:  $[-\infty, -587.7], [-27.7, 0]$

② 分离点:  $d = -1190$   
 $T_d = 0.00055$

③ 虚轴交点:  $\begin{cases} \omega = 126.45 \\ T = 0.0358 \end{cases}$

④ 入射角:  $\theta = \pm 60^\circ, 180^\circ$



## § 4.3 参数根轨迹 (2)

例3 单位反馈系统的开环传递函数为  $G(s) = \frac{K^*(Ts+1)}{s(s+1)(s+2)}$ ，选定  $K^*$  值，绘制当  $T$  变化时的根轨迹。

$$D(s) = s(s+1)(s+2) + K^*(Ts+1) = 0$$

$$G^*(s) = \frac{K^*Ts}{s^3 + 3s^2 + 2s + K^*}$$

解. 令  $G_1(s) = \frac{K^*}{s(s+1)(s+2)} \quad \begin{cases} K = K^*/2 \\ \nu = 1 \end{cases}$

① 实轴上:  $[-\infty, -2], [-1, 0]$

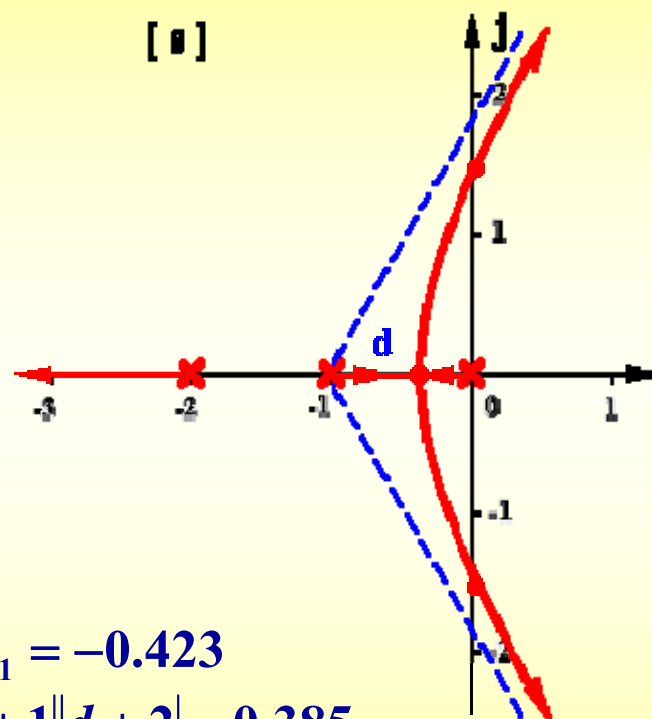
② 渐近线:  $\begin{cases} \sigma_a = -1 \\ \varphi_a = \pm 60^\circ, 180^\circ \end{cases}$

③ 分离点:  $\frac{1}{d} + \frac{1}{d+1} + \frac{1}{d+2} = 0$

$$\begin{cases} \text{解根: } d_1 = -0.423 \\ K_d^* = |d||d+1||d+2| = 0.385 \end{cases}$$

④ 虚轴交点:

$$D(s) = s^3 + 3s^2 + 2s + K^* = 0 \quad \begin{cases} \text{Re}[D(j\omega)] = -3\omega^2 + K^* = 0 \\ \text{Im}[D(j\omega)] = -\omega^3 + 2\omega = 0 \end{cases} \quad \begin{cases} \omega = \sqrt{2} \\ K^* = 6 \end{cases}$$



## § 4.3 参数根轨迹 (3)

$$G(s) = \frac{K^*(Ts + 1)}{s(s+1)(s+2)}$$

$$D(s) = s(s+1)(s+2) + K^*(Ts + 1) = 0$$

$$G^*(s) = \frac{K^*Ts}{s^3 + 3s^2 + 2s + K^*}$$

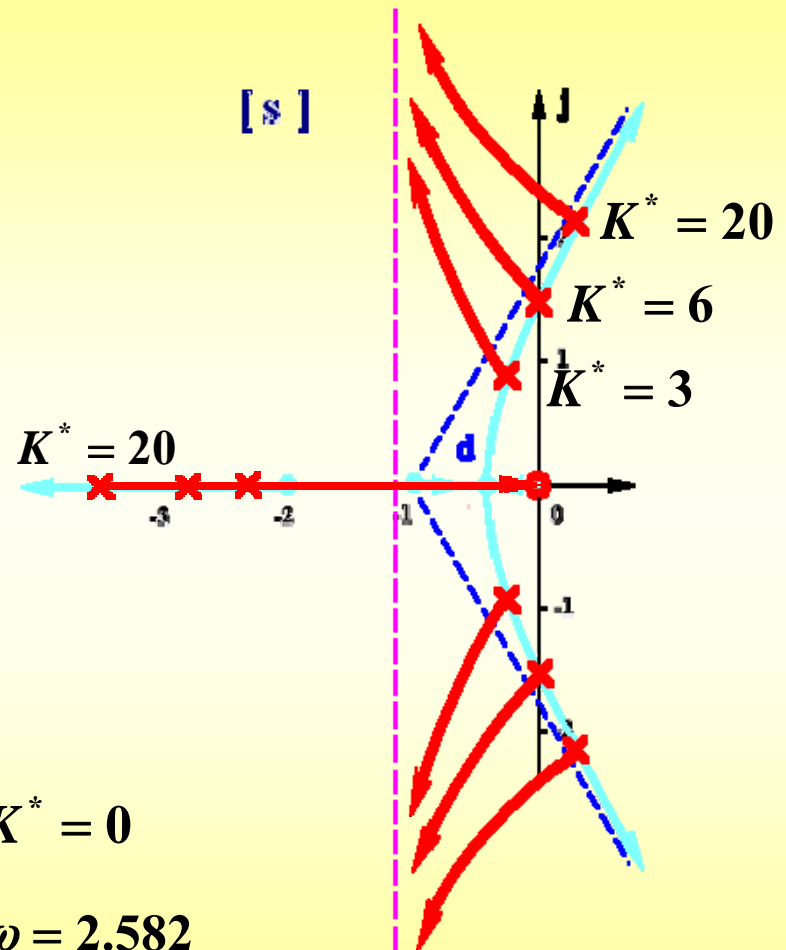
$$K^* = 20:$$

$$G^*(s) = \frac{20Ts}{s^3 + 3s^2 + 2s + 20}$$

$$G^*(s) = \frac{20Ts}{(s + 3.85)[s + 0.425 \pm j2.235]}$$

$$\text{虚轴交点: } D(s) = s^3 + 3s^2 + (2 + 20T)s + K^* = 0$$

$$\begin{cases} \operatorname{Re}[D(j\omega)] = -3\omega^2 + 20 = 0 \\ \operatorname{Im}[D(j\omega)] = -\omega^3 + (2 + 20T)\omega = 0 \end{cases} \quad \begin{cases} \omega = 2.582 \\ T = 0.233 \end{cases}$$



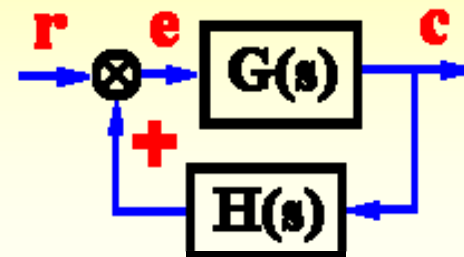
## § 4.3.2 零度根轨迹 (1)

§ 4.3.2 零度根轨迹 — 系统实质上处于正反馈时的根轨迹

$$G(s)H(s) = \frac{K^* (s - z_1) \cdots (s - z_m)}{(s - p_1)(s - p_2) \cdots (s - p_n)} = \frac{K^* \prod_{i=1}^m (s - z_i)}{\prod_{j=1}^n (s - p_j)}$$

$$\Phi(s) = \frac{G(s)}{1 - G(s)H(s)}$$

$$G(s)H(s) = \frac{K^* (s - z_1) \cdots (s - z_m)}{(s - p_1)(s - p_2) \cdots (s - p_n)} = + 1$$



$$|G(s)H(s)| = \frac{K^* |s - z_1| \cdots |s - z_m|}{|s - p_1| |s - p_2| \cdots |s - p_n|} = K^* \frac{\prod_{i=1}^m |s - z_i|}{\prod_{j=1}^n |s - p_j|} = 1$$

— 模值条件

$$\angle G(s)H(s) = \sum_{i=1}^m \angle(s - z_i) - \sum_{j=1}^n \angle(s - p_j) = 2k\pi$$

— 相角条件

# 绘制零度根轨迹的基本法则

法则 1 根轨迹的起点和终点

法则 2 根轨迹的分支数，对称性和连续性

★ 法则 3 实轴上的根轨迹

法则 4 根之和

$$\sum_{i=1}^n \lambda_i = C \quad (n - m \geq 2)$$

★ 法则 5 渐近线

$$\sigma_a = \frac{\sum_{i=1}^n p_i - \sum_{j=1}^m z_j}{n - m} \quad \varphi_a = \frac{2k\pi}{n - m}$$

法则 6 分离点

$$\sum_{i=1}^n \frac{1}{d - p_i} = \sum_{j=1}^m \frac{1}{d - z_j}$$

法则 7 与虚轴交点

$$\operatorname{Re}[D(j\omega)] = \operatorname{Im}[D(j\omega)] = 0$$

★ 法则 8 出射角/入射角

$$\sum_{i=1}^n \angle(s - p_i) - \sum_{j=1}^m \angle(s - z_j) = 2k\pi$$

## § 4.3.2 零度根轨迹 (2)

例4 系统结构图如图所示,  $K^* = 0 \rightarrow \infty$ , 变化, 试分别绘制  $0^\circ$ 、 $180^\circ$  根轨迹。

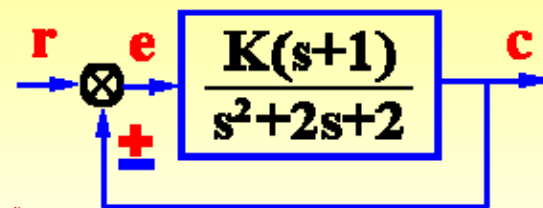
解.  $G(s) = \frac{K(s+1)}{s^2 + 2s + 2} = \frac{K(s+1)}{(s+1+j)(s+1-j)} \quad \begin{cases} K_k = K/2 \\ v = 0 \end{cases}$

(1)  $180^\circ$  根轨迹

$$D(s) = s^2 + 2s + 2 + K(s+1)$$

(2)  $0^\circ$  根轨迹

$$D(s) = s^2 + 2s + 2 - K(s+1)$$



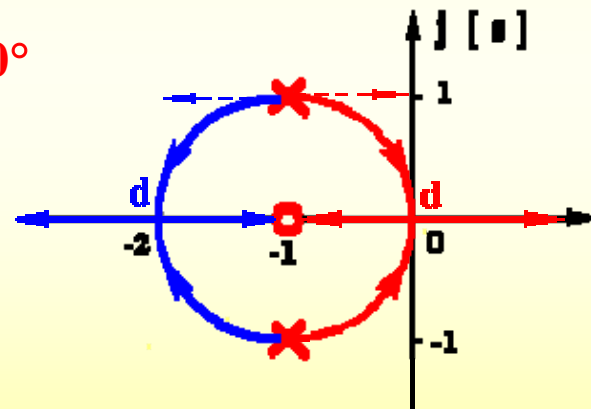
① 实轴轨迹:  $[-\infty, -1]$

$[-1, \infty]$

② 出射角:  $90^\circ - [\theta + 90^\circ] = -180^\circ$   
 $\Rightarrow \theta = 180^\circ$

$90^\circ - [\theta + 90^\circ] = 0^\circ$   
 $\Rightarrow \theta = 0^\circ$

③ 分离点:  $\frac{1}{d+1+j} + \frac{1}{d+1-j} = \frac{2(d+1)}{d^2+2d+2} = \frac{1}{d+1}$



解根:  $\begin{cases} d_1 = -2 \\ K_{d_1} = \frac{|d+1+j||d+1-j|}{|d+1|} \Big|_{d=-2} = 2 \end{cases}$

$\begin{cases} d_2 = 0 \\ K_{d_2} = \frac{|d+1+j||d+1-j|}{|d+1|} \Big|_{d=0} = 2 \end{cases}$

## § 4.3.2 零度根轨迹 (3)

例5 系统开环传递函数  $G(s) = \frac{K^*(s+1)}{(s+3)^3}$ , 分别绘制  $0^\circ$ 、 $180^\circ$  根轨迹。

解.  $G(s) = \frac{K^*(s+1)}{(s+3)^3} \quad \begin{cases} K = K^*/27 \\ \nu = 0 \end{cases}$

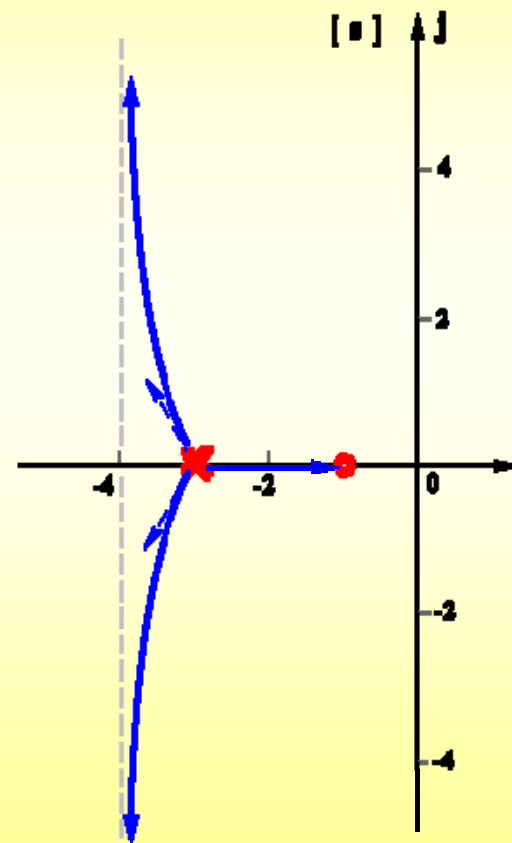
(1) 绘制  $180^\circ$  根轨迹

① 实轴上的根轨迹:  $[-3, -1]$

② 出射角:  $180^\circ - 3\theta = (2k+1)\pi$

$$\Rightarrow \theta_1 = \frac{2k\pi}{3} = 0^\circ, \pm 120^\circ$$

③ 渐近线:  $\begin{cases} \sigma_a = \frac{-3 \times 3 + 1}{2} = -4 \\ \varphi_a = \frac{(2k+1)\pi}{2} = \pm 90^\circ \end{cases}$



## § 4.3.2 零度根轨迹 (4)

解.  $G(s) = \frac{K^*(s+1)}{(s+3)^3} \begin{cases} K = K^*/27 \\ \nu = 0 \end{cases}$

(2) 绘制  $0^\circ$  根轨迹

① 实轴轨迹:  $[-\infty, -3], [-1, +\infty]$

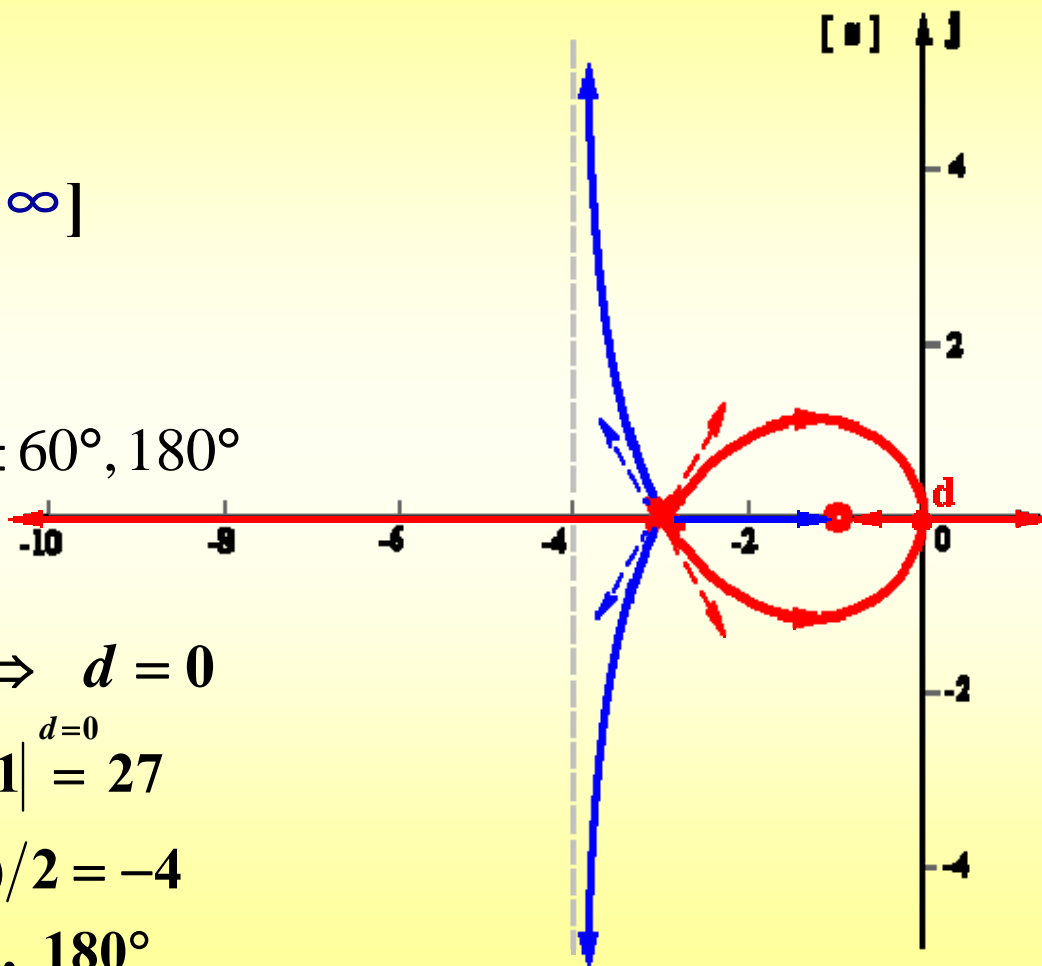
② 出射角:  $180^\circ - 3\theta = 2k\pi$

③ 分离点:  $\frac{3}{d+3} = \frac{3}{d+1}$

整理得:  $3d + 3 = d + 3 \Rightarrow d = 0$

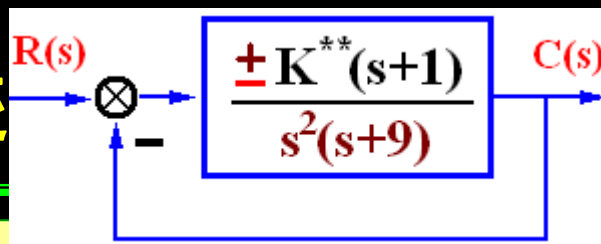
$$K_d^* = \left| \frac{d+3}{d+1} \right|^3 \Big|_{d=0} = 27$$

④ 渐近线:  $\begin{cases} \sigma_a = (-3 \times 3 + 1)/2 = -4 \\ \varphi_a = 2k\pi/2 = 0^\circ, 180^\circ \end{cases}$





## § 4.3.2 零度根轨迹



$$G(s) = \frac{K^*(s+1)}{(s+3)^3} \quad \begin{cases} K = K^*/27 \\ \nu = 0 \end{cases}$$

0°根轨迹

$$\begin{cases} \text{出射角: } \theta = \pm 60^\circ, 180^\circ \\ \text{分离点: } d = 0 \quad K_d^* = 27 \\ \text{渐近线: } \begin{cases} \sigma_a = -4 \\ \varphi_a = 0^\circ, 180^\circ \end{cases} \end{cases}$$

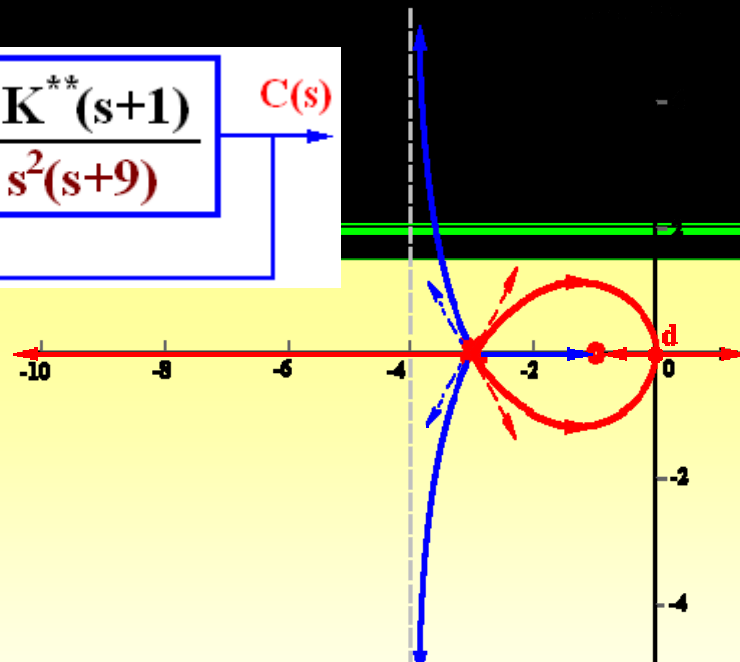
$$D(s) = (s+3)^3 + K^*(s+1) = 0$$

$$\begin{aligned} & \downarrow \begin{aligned} K^{**} &= K^* + 27 \\ K^* &= K^{**} - 27 \end{aligned} \\ &= (s+3)^3 + (K^{**} - 27)(s+1) \end{aligned}$$

$$D(s) = s^3 + 9s^2 + K^{**}(s+1) = 0$$

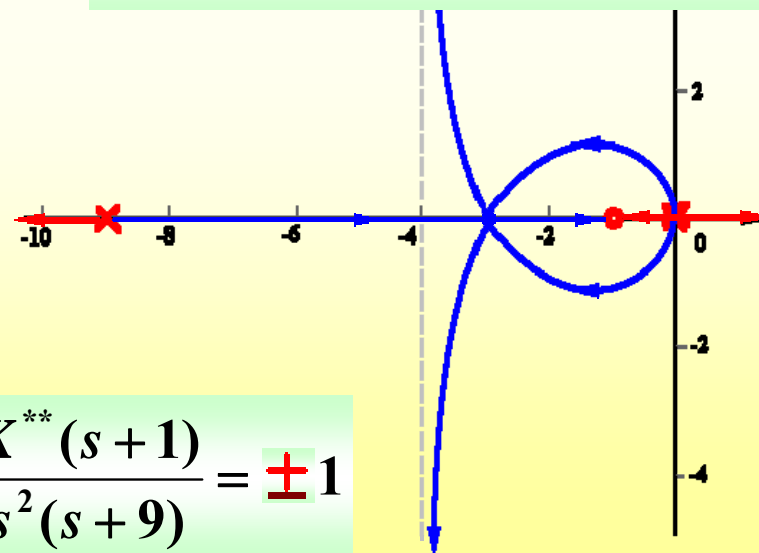
$$G^*(s) = \frac{K^{**}(s+1)}{s^2(s+9)}$$

$$G^*(s) = \frac{K^{**}(s+1)}{s^2(s+9)} = \pm 1$$



$$K^* : -\infty \leftrightarrow -27 \leftrightarrow 0 \leftrightarrow \infty$$

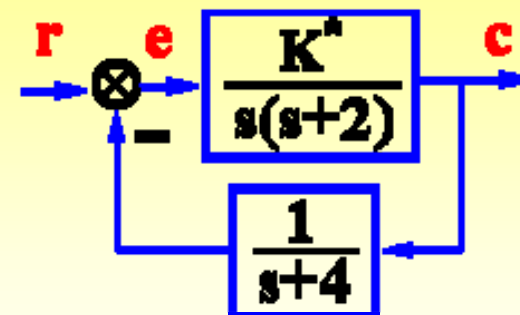
$$K^{**} : -\infty \leftrightarrow 0 \leftrightarrow 27 \leftrightarrow \infty$$



## § 4.4 利用根轨迹分析系统性能 (1)

### 利用根轨迹法分析系统性能的基本步骤

- (1) 绘制系统根轨迹；
- (2) 依题意确定闭环极点位置；
- (3) 确定闭环零点；
- (4) 保留主导极点，利用零点极点法估算系统性能



例1 已知系统结构图， $K^* = 0 \rightarrow \infty$ ，绘制系统根轨迹并确定：

- (1) 使系统稳定且为欠阻尼状态时开环增益  $K$  的取值范围；
- (2) 复极点对应  $\xi=0.5$  ( $\beta=60^\circ$ ) 时的  $K$  值及闭环极点位置；
- (3) 当  $\lambda_3=-5$  时， $\lambda_{1,2}=?$  相应  $K=?$
- (4) 当  $K^*=4$  时，求  $\lambda_{1,2,3}$  并估算系统动态指标 ( $\sigma\%$ ,  $t_s$ )。

## § 4.4 利用根轨迹分析系统性能 (2)

解. 绘制系统根轨迹  $G(s) = \frac{K^*}{s(s+2)(s+4)}$   $\begin{cases} K = K^*/8 \\ \nu = 1 \end{cases}$

① 实轴上的根轨迹:  $[-\infty, -4], [-2, 0]$

② 渐近线:  $\begin{cases} \sigma_a = (-2-4)/3 = -2 \\ \varphi_a = \pm 60^\circ, 180^\circ \end{cases}$

③ 分离点:  $\frac{1}{d} + \frac{1}{d+2} + \frac{1}{d+4} = 0$

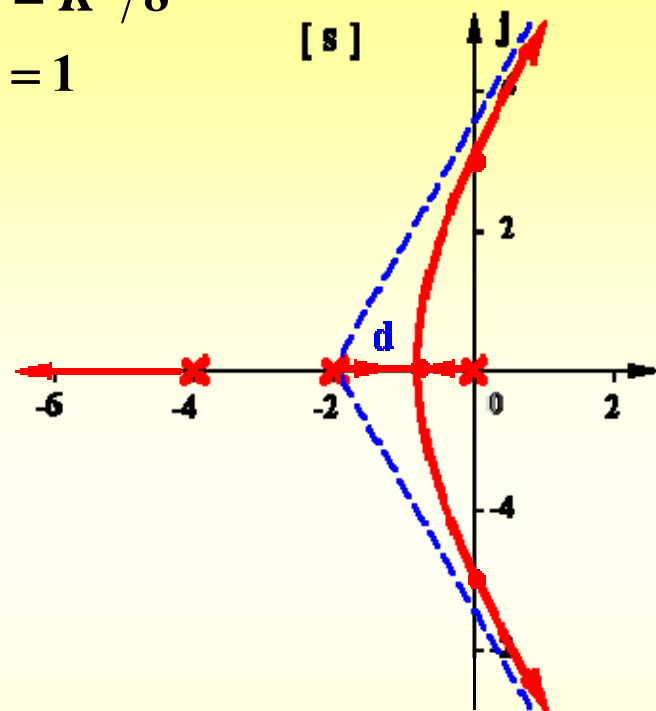
整理得:  $3d^2 + 12d + 8 = 0$

解根:  $d_1 = -0.845; \checkmark \quad d_2 = -3.155 \times$

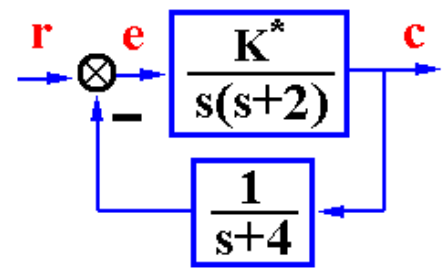
$$K_d^* = |d||d+2||d+4| \Big|_{d=-0.845} = 3.08$$

④ 虚轴交点:  $D(s) = s(s+2)(s+4) + K^* = s^3 + 6s^2 + 8s + K^* = 0$

$$\begin{cases} \text{Im}[D(j\omega)] = -\omega^3 + 8\omega = 0 \\ \text{Re}[D(j\omega)] = -6\omega^2 + K^* = 0 \end{cases} \quad \begin{cases} \omega = \sqrt{8} = 2.828 \\ K_\omega^* = 48 \end{cases}$$



## § 4.4 利用根轨迹分析系统性能



(1) 使系统稳定且为欠阻尼状态时开环增益  $K$  的取值范围

依题, 对应  $0 < \xi < 1$  有: 
$$\begin{cases} 3.08 < K^* < 48 \\ \frac{3.08}{8} < K = \frac{K^*}{8} < \frac{48}{8} = 6 \end{cases}$$

(2) 复极点对应  $\xi=0.5$  ( $\beta=60^\circ$ ) 时的  $K$  值及闭环极点位置

设  $\lambda_{1,2} = -\xi\omega_n \pm j\sqrt{1-\xi^2}\omega_n$

由根之和  $C = 0 - 2 - 4 = -6 = -2\xi\omega_n + \lambda_3$

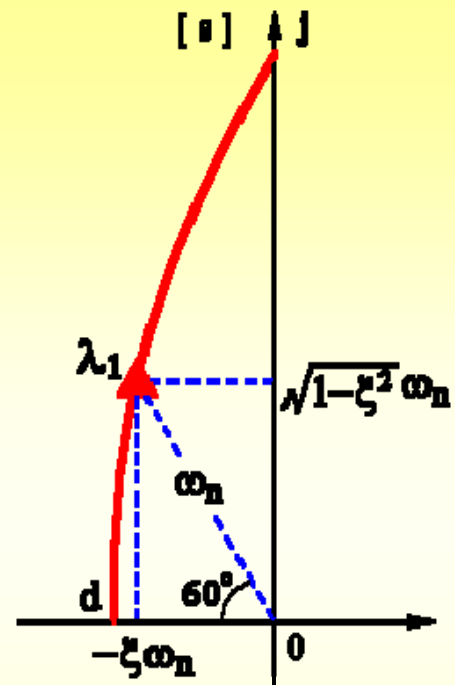
$$\lambda_3 = -6 + 2\xi\omega_n \stackrel{\xi=0.5}{=} -6 + \omega_n$$

应有:  $D(s) = s(s+2)(s+4) + K^* = s^3 + 6s^2 + 8s + K^*$

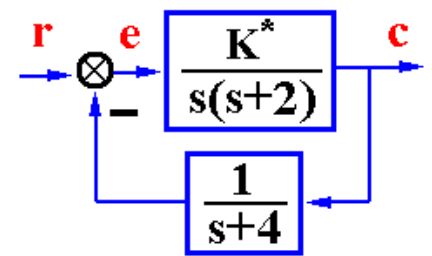
$$= (s - \lambda_1)(s - \lambda_2)(s - \lambda_3) = (s^2 + 2\xi\omega_n s + \omega_n^2)(s + 6 - \omega_n)$$

$$= s^3 + 6s^2 + 6\omega_n s + \omega_n^2(6 - \omega_n)$$

比较系数	$\begin{cases} 6\omega_n = 8 \\ \omega_n^2(6 - \omega_n) = K^* \end{cases}$	解根:	$\begin{cases} \omega_n = 4/3 \\ K^* = 8.3 \end{cases}$	$\begin{cases} K = K^*/8 = 1.0375 \\ \lambda_{1,2} = -0.667 \pm j1.1547 \\ \lambda_3 = -6 + \omega_n = -4.667 \end{cases}$
------	---	-----	---	--



## § 4.4 利用根轨迹分析系统性能 (



(3) 当  $\lambda_3 = -5$  时,  $\lambda_{1,2} = ?$  相应  $K = ?$

$$\begin{aligned} D(s) &= s^3 + 6s^2 + 8s + K^* \\ &= (s+5)(s^2 + s + 3) \end{aligned}$$

$$\lambda_{1,2} = -0.5 \pm j1.6583$$

$$K^* = 15$$

$$K = K^*/8 = 15/8 = 1.875$$

$$\begin{aligned} s+5 & \left/ \frac{s^2 + s + 3}{s^3 + 6s^2 + 8s + K^*} \right. \\ &= \frac{s^2 + 8s}{s^2 + 5s} \\ &= \frac{3s + K^*}{3s + 15} \end{aligned}$$

$$K^* = 15 \Leftarrow$$

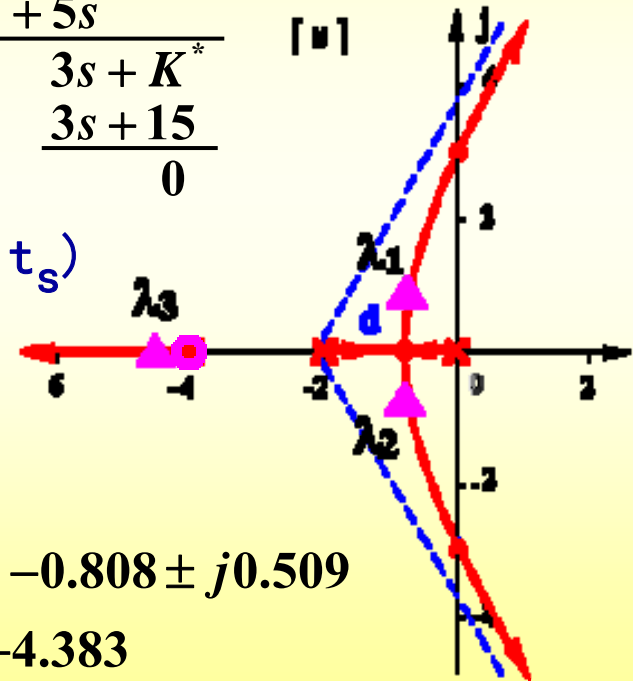
(4) 当  $K^* = 4$  时, 求  $\lambda_{1,2,3}$  并估算系统动态指标 ( $\sigma\%$ ,  $t_s$ )

$$\text{令 } K^* = |\lambda_3| |\lambda_3 + 2| |\lambda_3 + 4| = 4$$

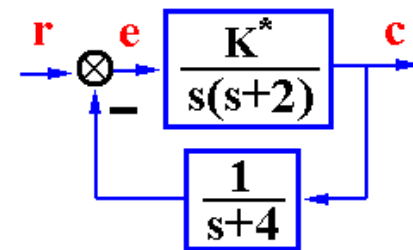
$$\text{试根 } \lambda_3 = -4.383$$

$$\begin{aligned} \frac{D(s)}{s+4.383} &= \frac{s^3 + 6s^2 + 8s + K^*}{s+4.383} \\ &= s^2 + 1.617s + 0.9127 \end{aligned}$$

$$\text{解根: } \begin{cases} \lambda_{1,2} = -0.808 \pm j0.509 \\ \lambda_3 = -4.383 \end{cases}$$



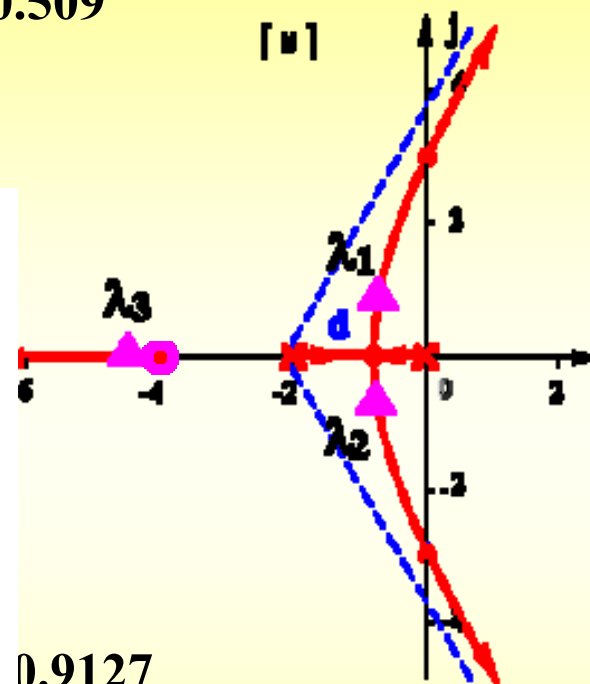
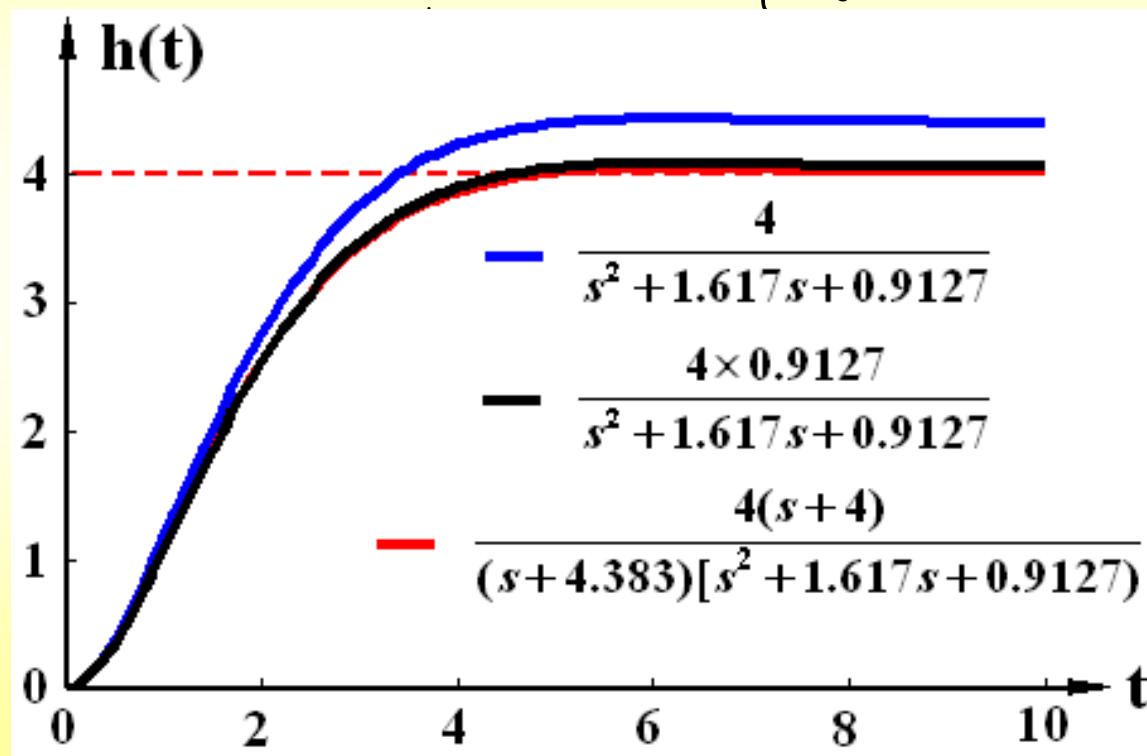
## § 4.4 利用根轨迹分析系统性能 (5)



(4) 当  $K^*=4$  时, 求  $\lambda_{1,2,3}$  并估算系统动态指标 ( $\sigma\%$ ,  $t_s$ )

视  $\lambda_{1,2}$  为主导极点

$$\begin{cases} \lambda_{1,2} = -0.808 \pm j0.509 \\ \lambda_3 = -4.383 \\ z = -4 \end{cases}$$



$$\frac{0.9127}{7s + 0.9127}$$

$$\frac{1}{\sqrt{1-\xi^2}} = 0.689\%$$

$$t_s = 3.5 / \xi \omega_n = 3.5 / 0.808 = 4.33$$

## § 4.4 利用根轨迹分析系统

例2 系统结构图如图所示。

- (1) 绘制当  $K^* = 0 \rightarrow \infty$  时系统的根轨迹；
- (2) 使复极点对应的  $\xi=0.5$  ( $\beta=60^\circ$ ) 时的  $K$  及  $t_s$ ；
- (3) 估算系统动态性能指标 ( $\sigma\%$ ,  $t_s$ )

解. (1)  $G(s) = \frac{K^*(s+4)}{s(s+2)(s+3)} \cdot \frac{s+2}{s+4} = \frac{K^*}{s(s+3)} \quad \begin{cases} K = K^*/3 \\ v = 1 \end{cases}$

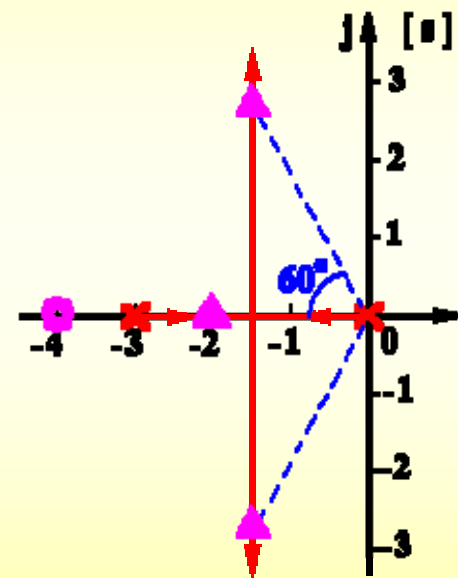
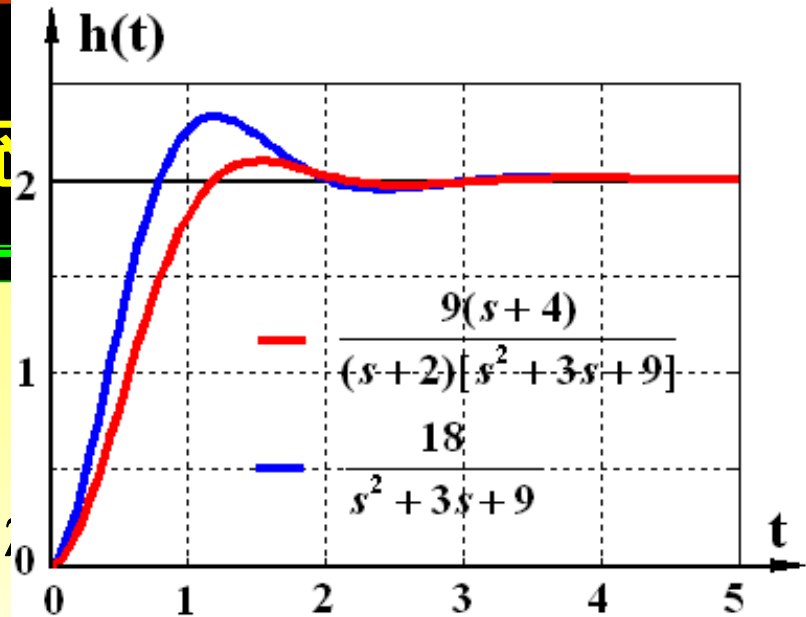
(2) 当  $\xi=0.5$  ( $\beta=60^\circ$ ) 时

$$\lambda_{1,2} = -1.5 \pm j2.598$$

$$K^* = |\lambda_1| |\lambda_1 + 3| = 1.5^2 + 2.598^2 = 9$$

$$K = K^*/3 = 3$$

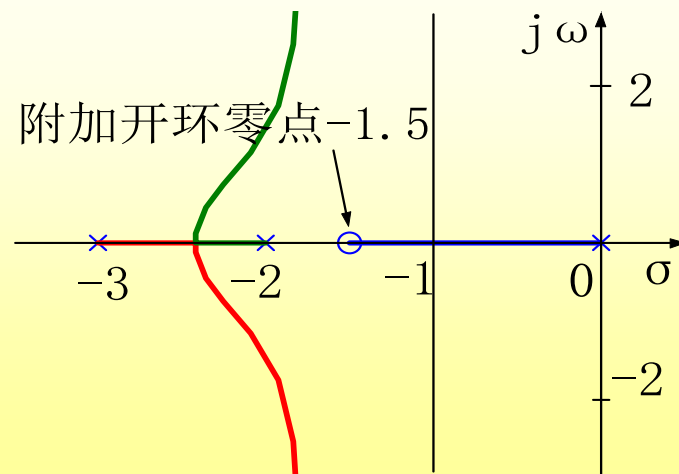
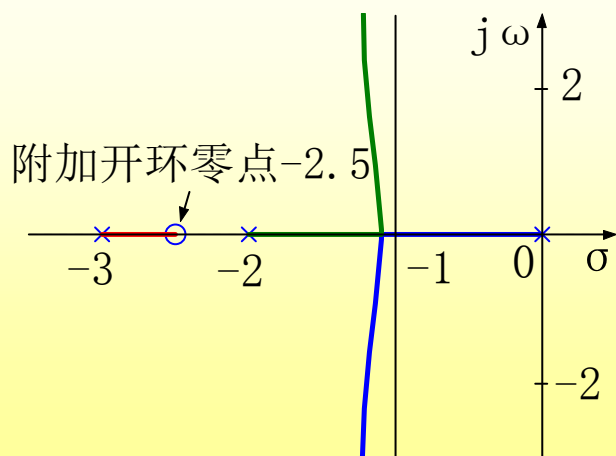
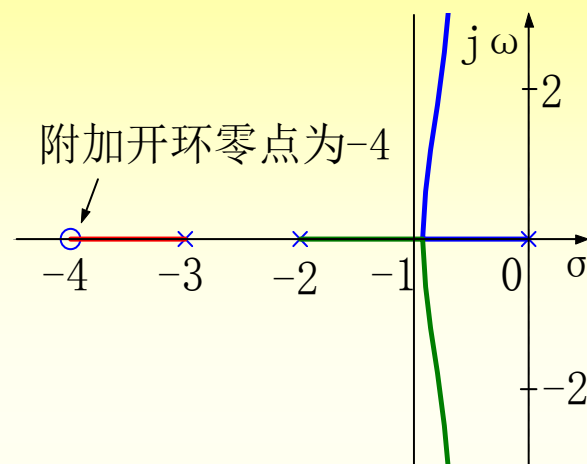
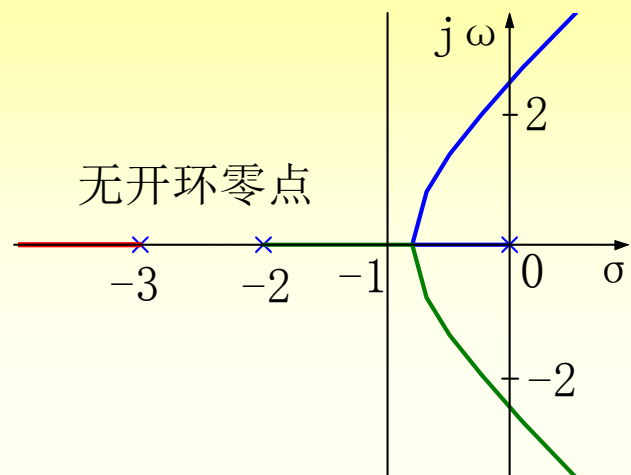
$$(3) \Phi(s) = \frac{s(s+2)(s+3)}{1 + \frac{K^*}{s(s+3)}} = \frac{K^*(s+4)}{(s+2)[s(s+3) + K^*]} \quad \begin{cases} \sigma\% = 5.17\% \\ t_s = 1.62 \end{cases}$$



## § 4.4 利用根轨迹分析系统性能 (7)

增加开环零点对系统响应性能的影响

$$G(s)H(s) = \frac{K^*}{s(s+2)(s+3)}$$

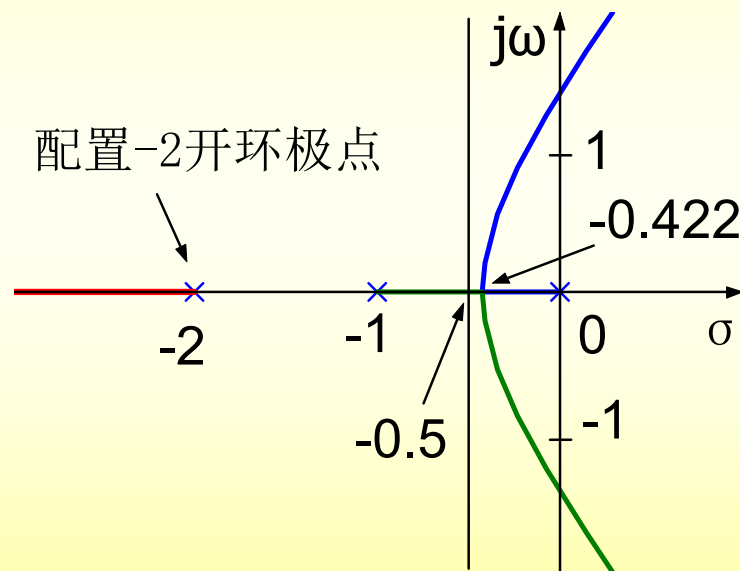
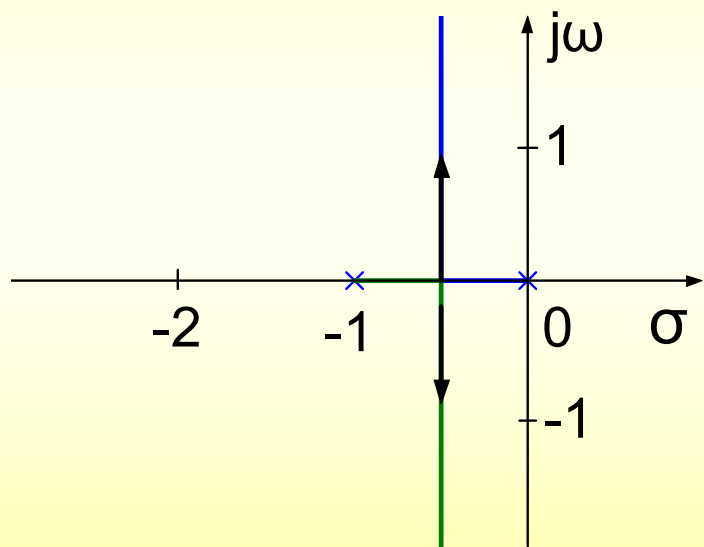




## § 4.4 利用根轨迹分析系统性能 (8)

增加开环极点对系统响应性能的影响

$$G(s)H(s) = \frac{K^*}{s(s+1)}$$



# 课程小结

---

## § 4.1 根轨迹法的基本概念

根轨迹      根轨迹方程

闭环零点与开环零极点之间的关系

## § 4.2 绘制根轨迹法的基本法则

## § 4.3 广义根轨迹

参数根轨迹

— 构造等效开环传递函数

零度根轨迹

— 注意与绘制 $180^\circ$ 根轨迹不同的3条法则

## § 4.4 利用根轨迹分析系统性能